Projet National SOLCYP



Dimensionnement des pieux sous chargements axiaux

Sébastien Burlon (IFSTTAR)

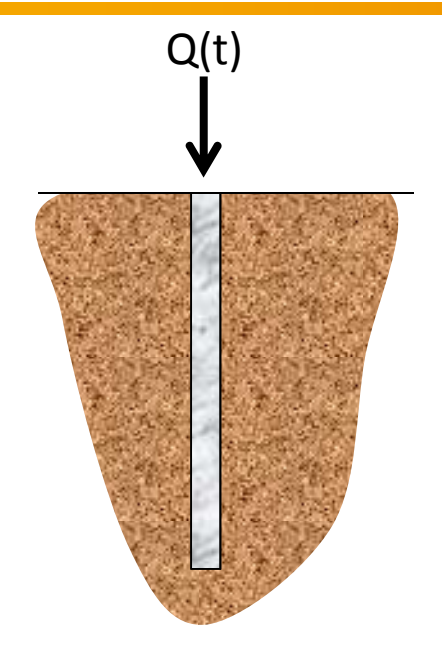


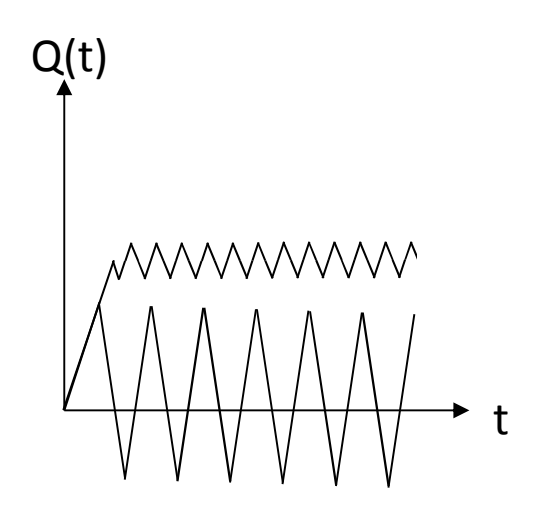
Lundi 13 mars 2017, Paris

SOLCYP – Journée de restitution



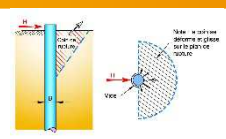






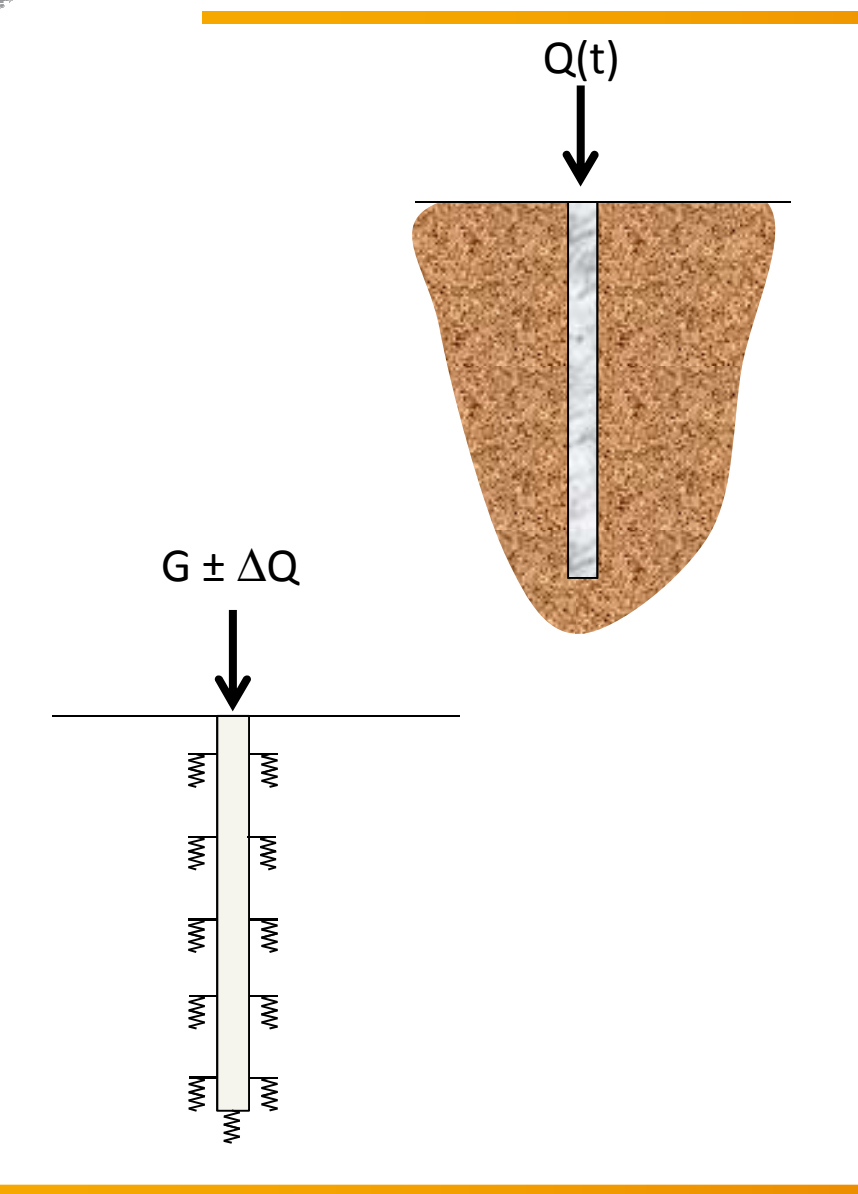


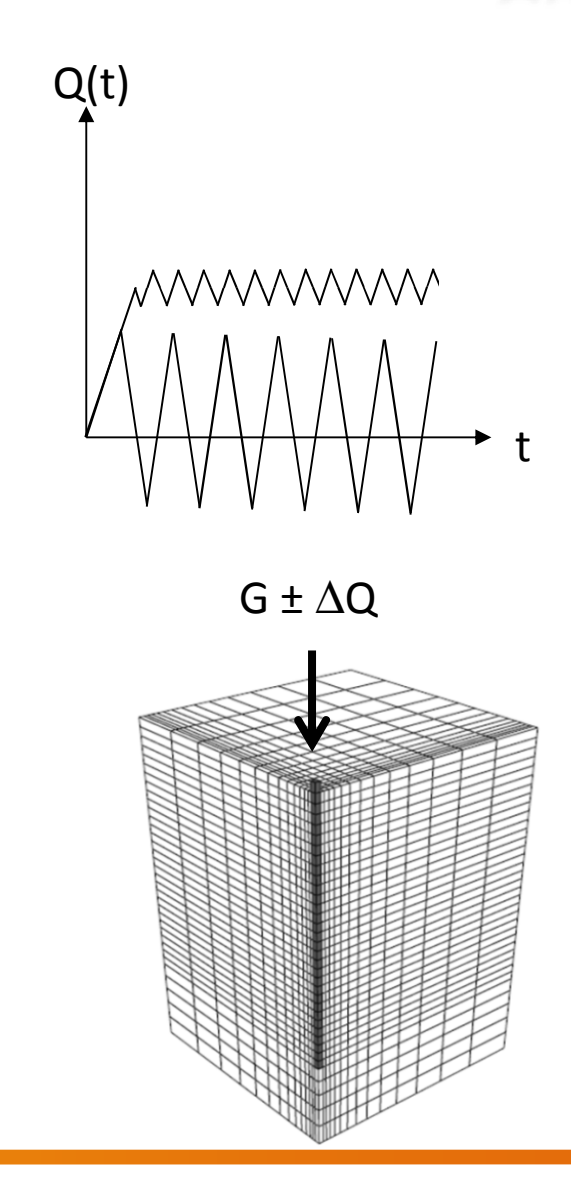


























Calcul d'un pieu sous charge axiale cyclique

Estimation de la résistance limite du pieu lors des cycles de chargement

Quel est le coefficient de sécurité ? (ELU)

Prévision des déplacements du pieu

Est-ce compatible avec les exigences de la structure portée ? (ELS)













Calcul d'un pieu sous charge axiale cyclique

Estimation de la résistance limite du pieu lors des cycles de chargement

Quel est le coefficient de sécurité ? (ELU)

Prévision des déplacements du pieu

Est-ce compatible avec les exigences de la structure portée ? (ELS)

Deux remarques :

- •la résistance limite cyclique n'est pas unique et dépend du chargement appliqué
- •elle peut correspondre à un défaut d'équilibre ou une accumulation trop importante de déplacements



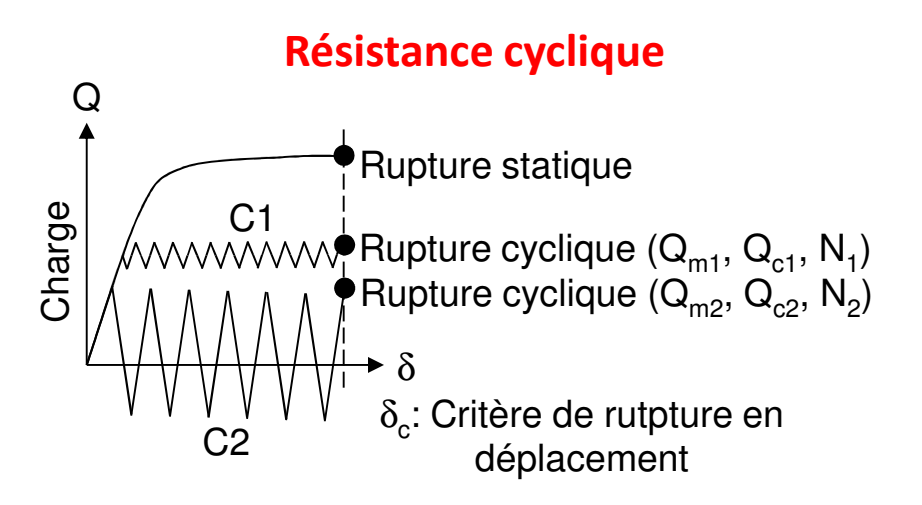


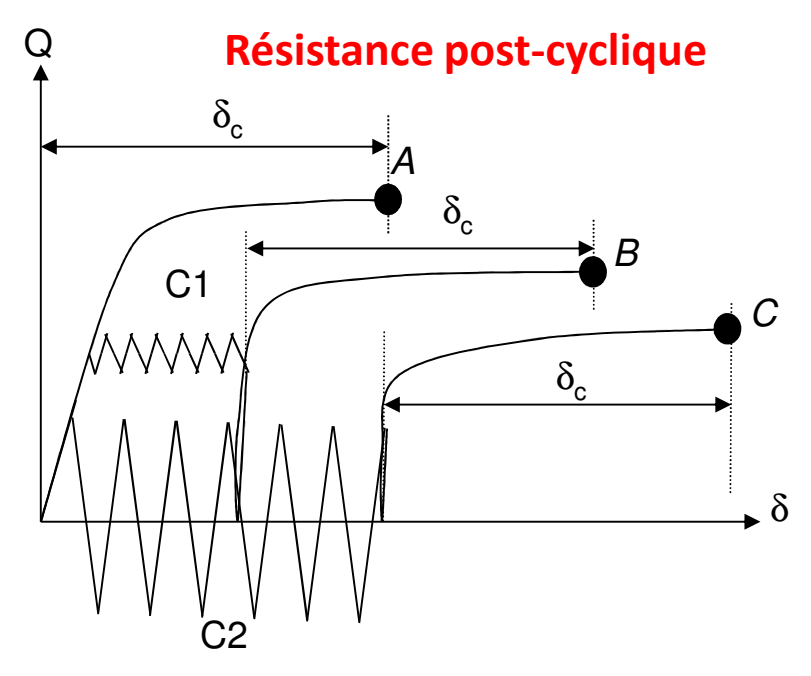






RÉSISTANCE CYCLIQUE ET RÉSISTANCE POST-CYCLIQUE





A : Rupture statique

B: Rupture post-cyclique C1

C: Rupture post-cyclique C2

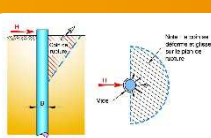
 δ_c : Critère de rutpture en

déplacement



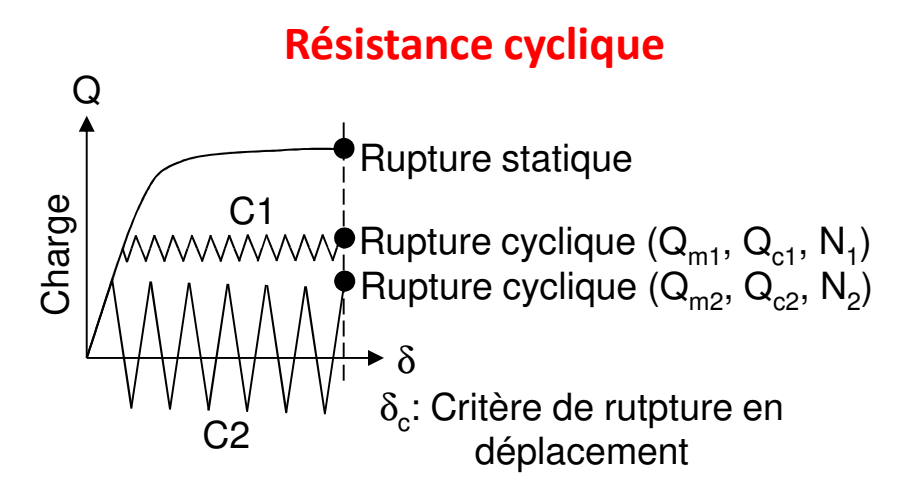


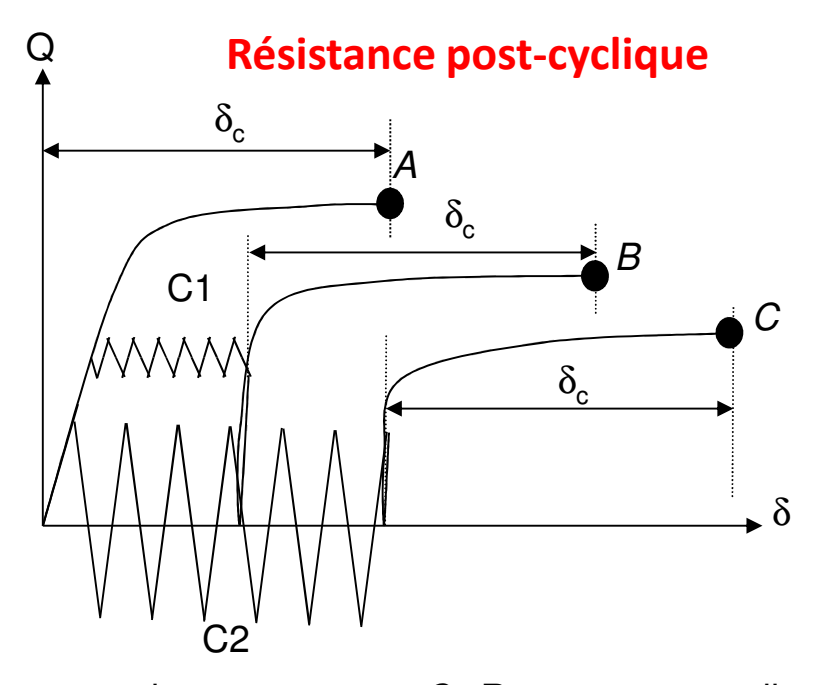






RÉSISTANCE CYCLIQUE ET RÉSISTANCE POST-CYCLIQUE





A: Rupture statique

B: Rupture post-cyclique C1

C: Rupture post-cyclique C2

δ_c: Critère de rutpture en

déplacement



L'objectif des méthodes de calcul développées est de déterminer l'évolution de la résistance cyclique du pieu au cours d'un chargement



La détermination des résistances post-cycliques est actuellement hors de portée des méthodes développées





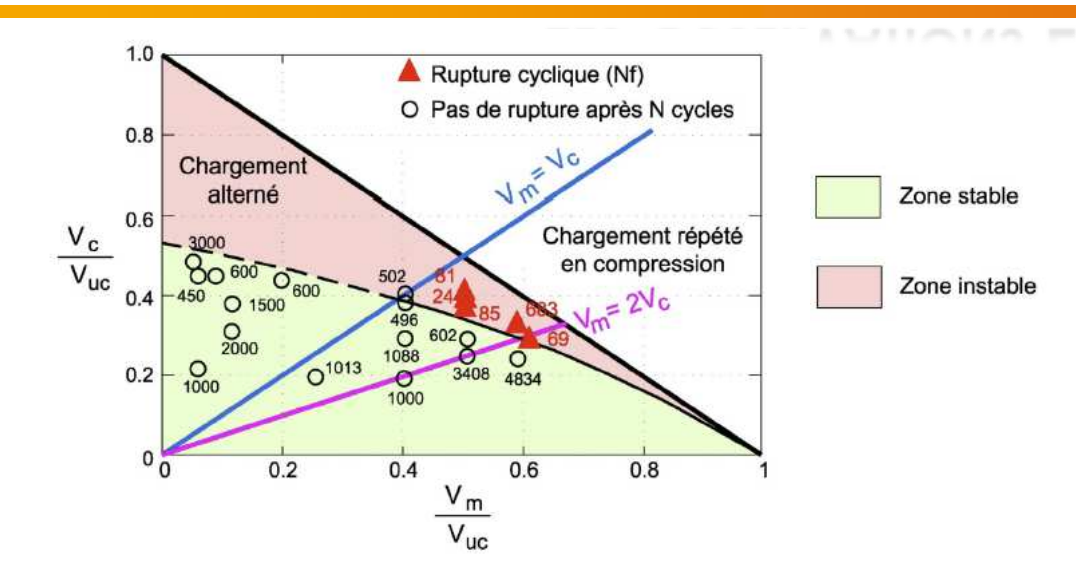






LES OBSERVATIONS EXPÉRIMENTALES

La résistance cyclique dépend du chargement







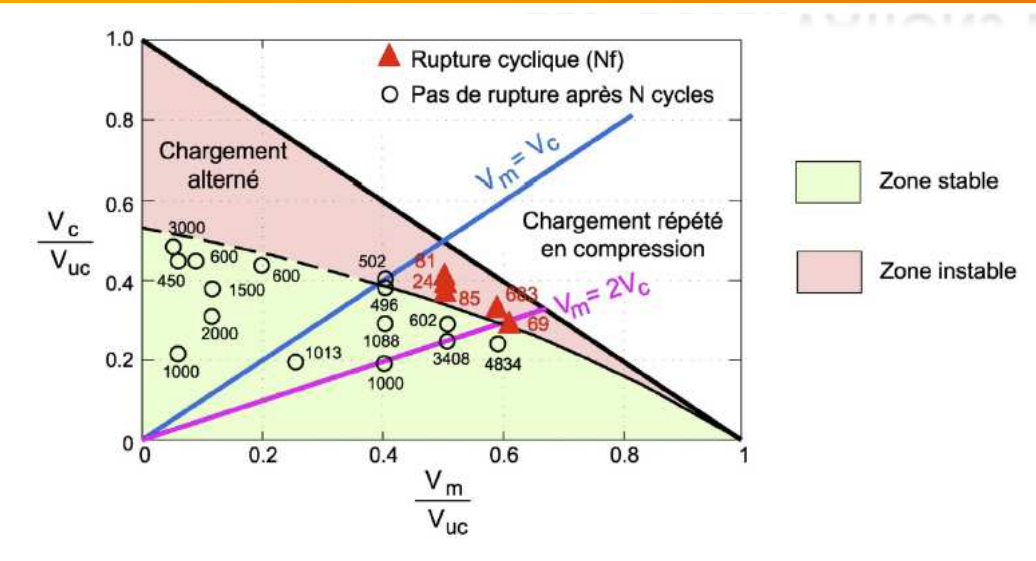


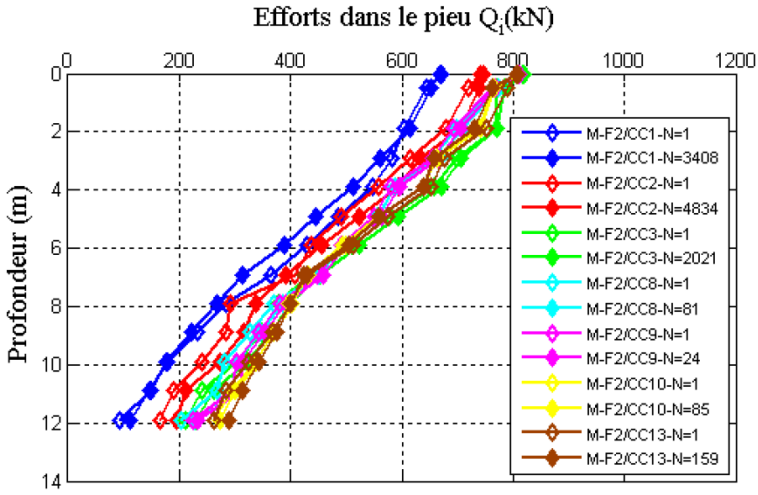


SOLCYP

LES OBSERVATIONS EXPÉRIMENTALES

La résistance cyclique dépend du chargement





Diminution du frottement axial limite







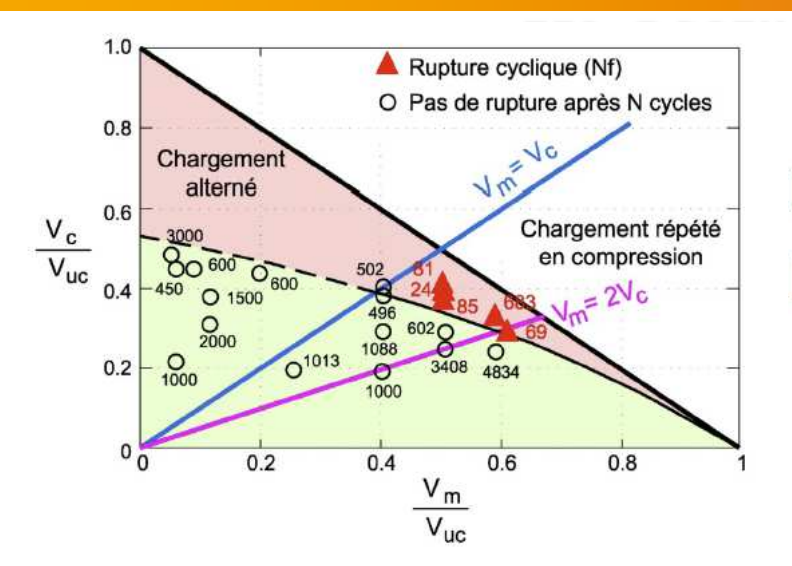




SOLCYP

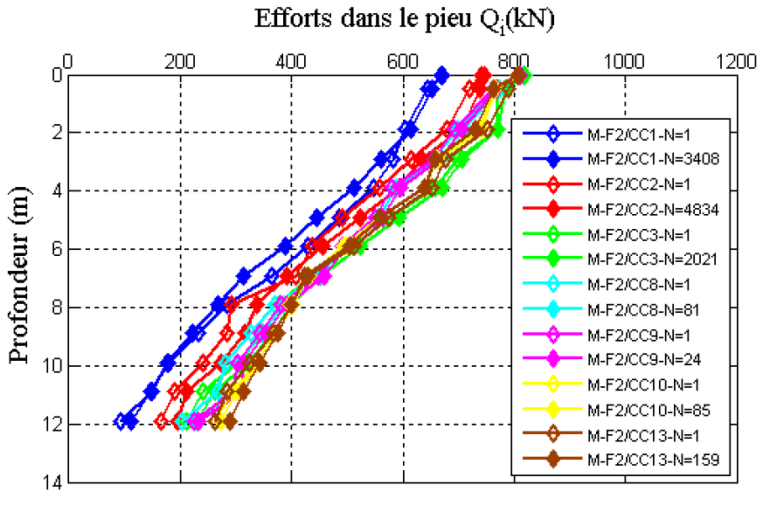
LES OBSERVATIONS EXPÉRIMENTALES

La résistance cyclique dépend du chargement



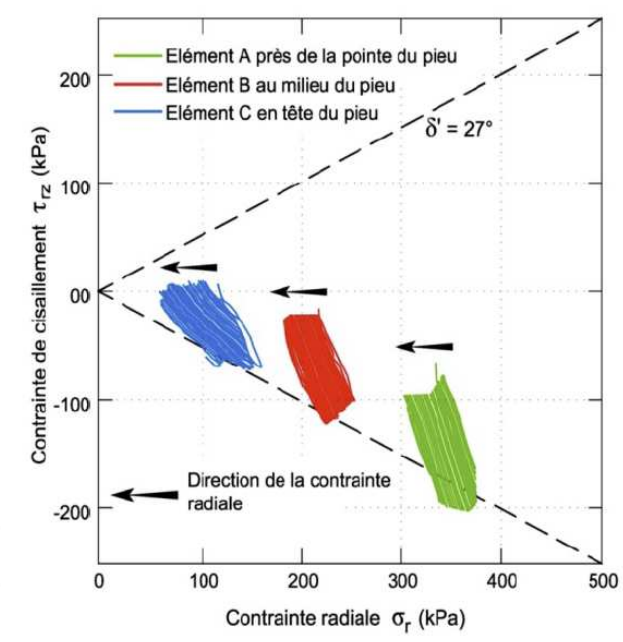
Zone stable

Zone instable



Diminution du frottement axial limite

Chute de la contrainte radiale effective















Chargement cyclique

Diminution de la contrainte radiale effective au cours des cycles

Augmentation des déplacements Défaut d'équilibre

Problèmes non traités : variations de rigidité avec les cycles, effets de la vitesse de chargement, effets du temps, attrition des grains, etc.

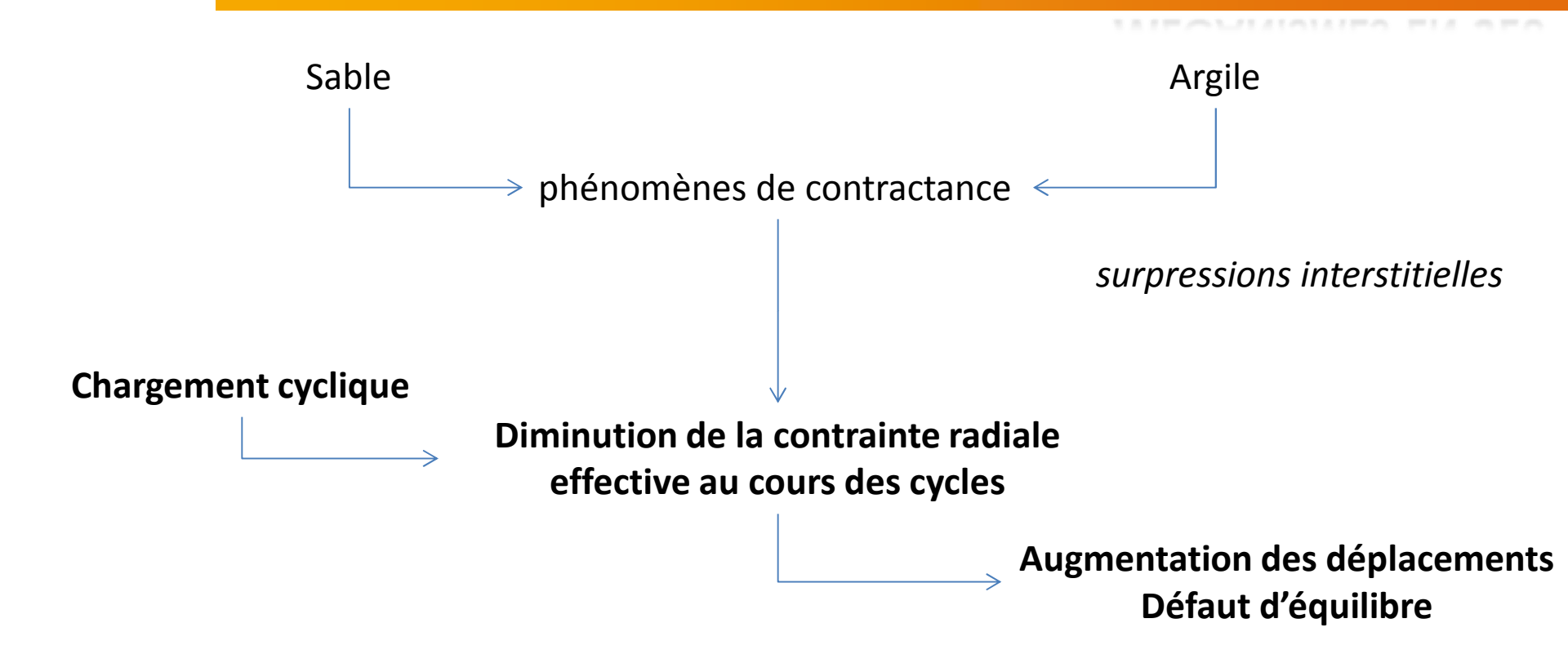












Problèmes non traités : variations de rigidité avec les cycles, effets de la vitesse de chargement, effets du temps, attrition des grains, etc.











LES DIFFÉRENTES MÉTHODES DE CALCUL

Méthode t-z enveloppe (ABC, SOLCYP) :

Enjeux : fiabilité de la méthode de dégradation

Méthode des éléments finis ou des différences finies (SOLCYP) :

Enjeux : implémentation d'une méthode d'homogénéisation cyclique, de pseudo-fluage cyclique, de sauts de cycles, etc.



Enjeux : fiabilité des lois de dégradation, implémentation numérique d'une loi t-z cycle à cycle





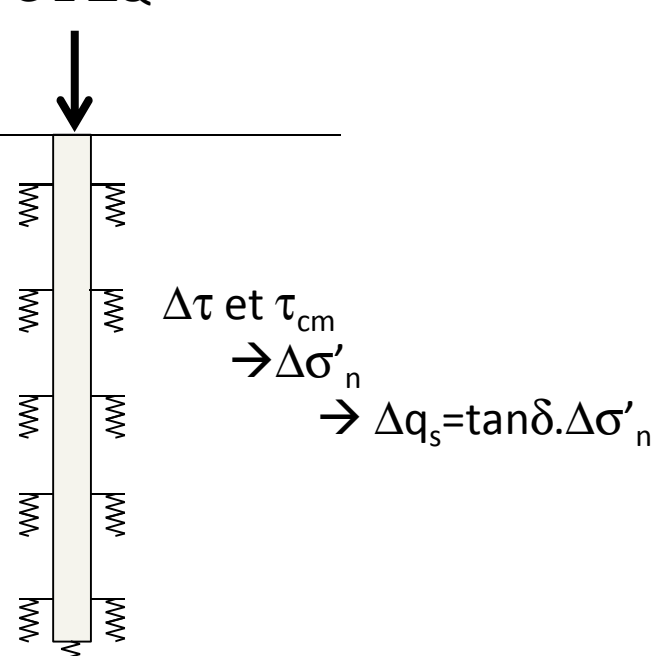




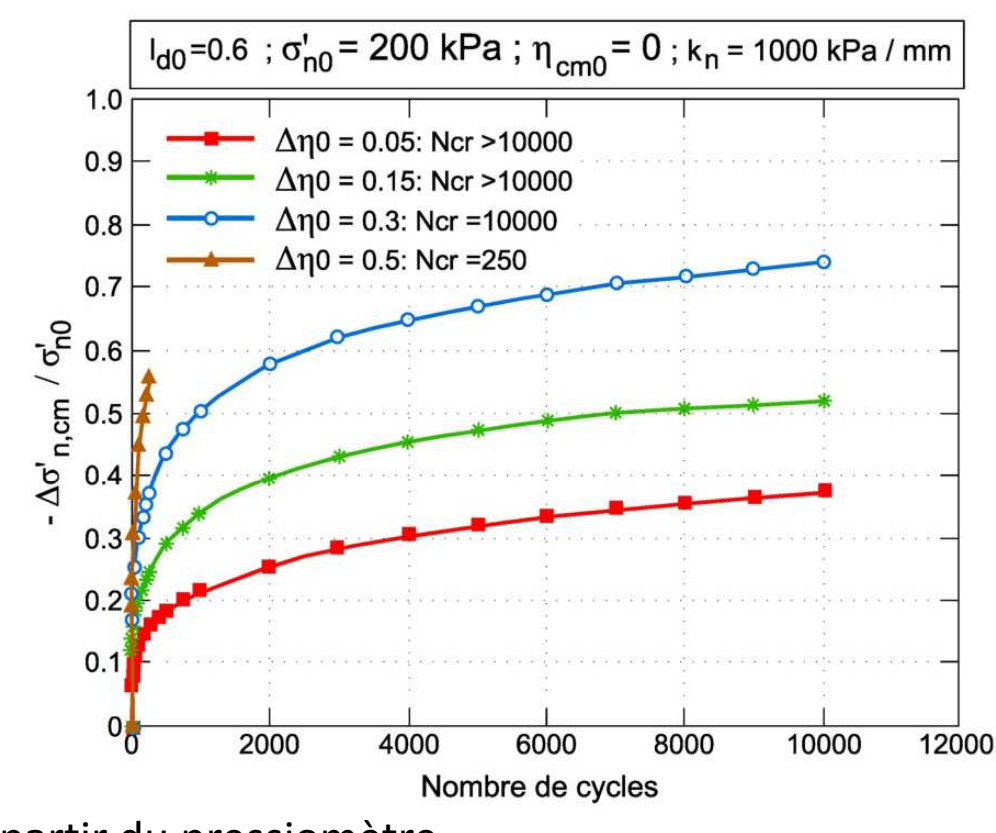


PROCÉDURE DE DÉGRADATION SOLCYP-DEG





Base de données L3SR (Thèse S.Pra-ai, Master G.Pittos)



 $\Delta \sigma'_{n} = K_{n} [u]$ avec $K_n = 2G/R$ K_n: estimation à partir du pressiomètre

K_n: estimation à partir du pénétromètre

De l'ordre de 200 à 1000 kPa/mm









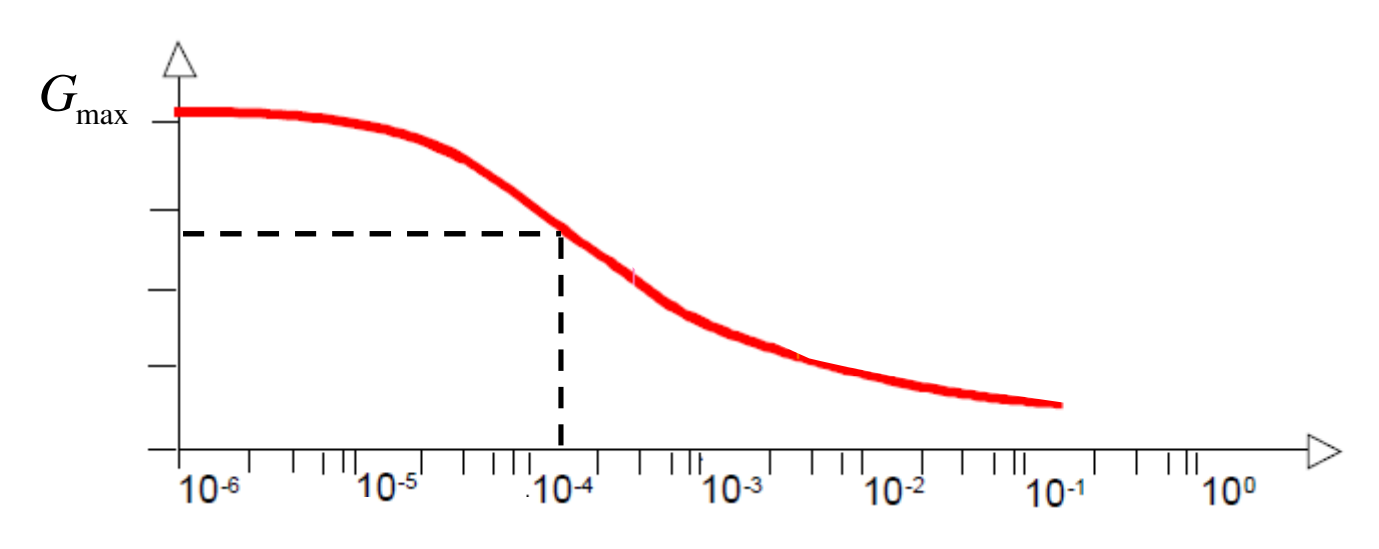




PROCÉDURE DE DÉGRADATION SOLCYP-DEG

$$K_n = 2G/R$$

→ Comment estimer le module de cisaillement G?



$$G_{\text{utilisé}}$$
 $G = \frac{G_{\text{max}}}{1,55}$ avec G_{max} calculé avec la formule de *Baldi et al. (1989)* $G = 10\left(\frac{E_M}{2(1+\nu)}\right)$ avec E_{M} le module pressiométrique



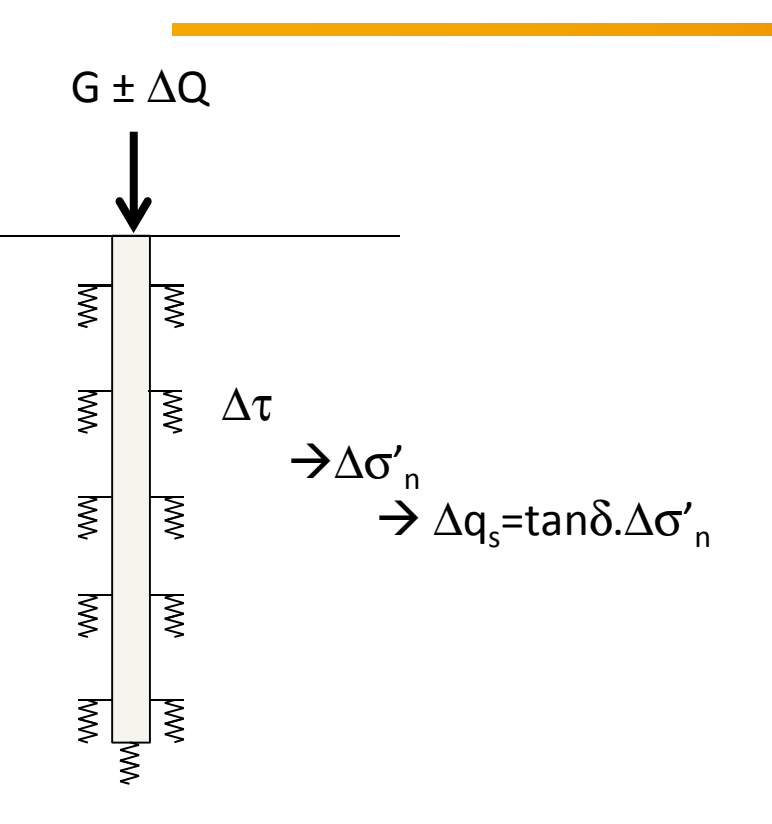


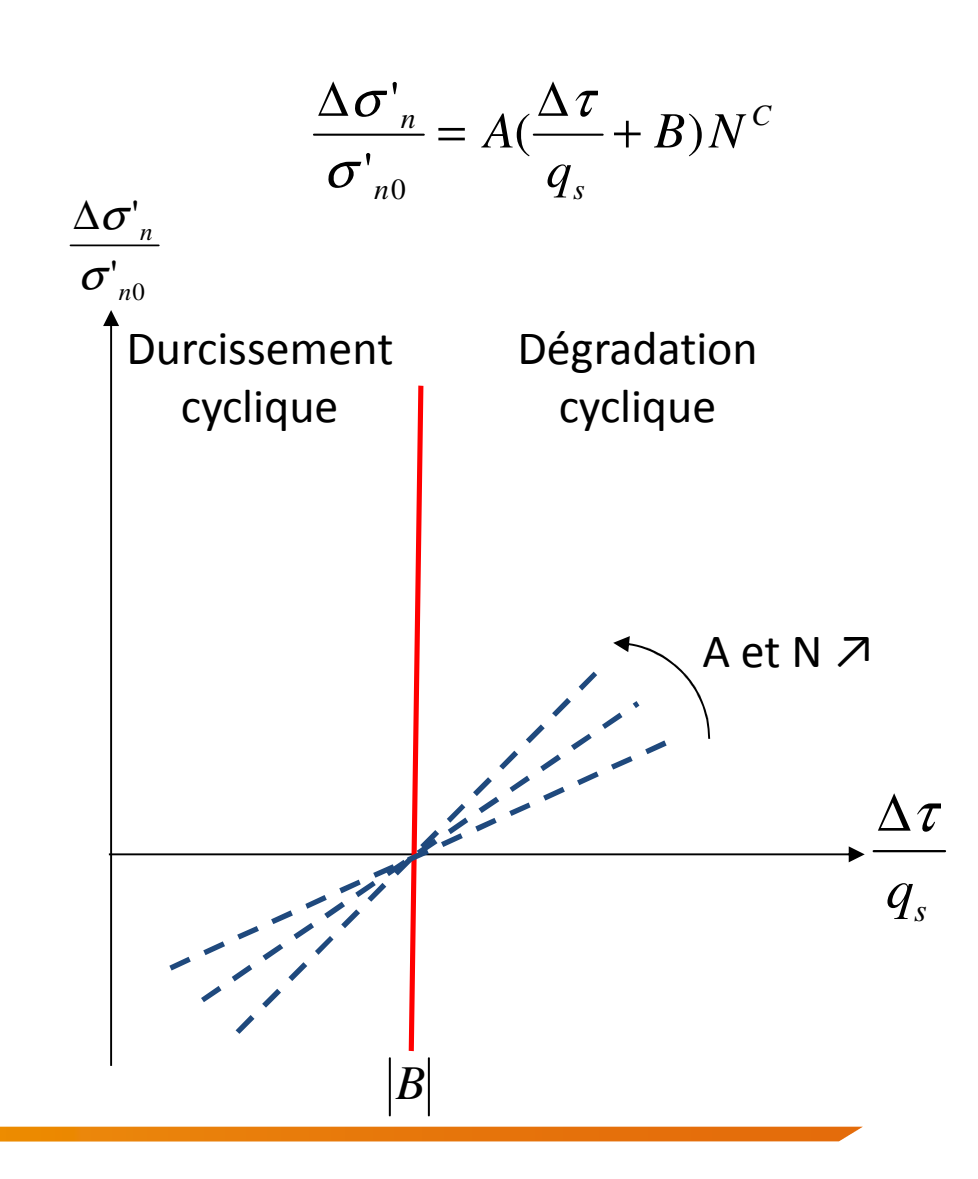






PROCÉDURE DE DÉGRADATION ABC







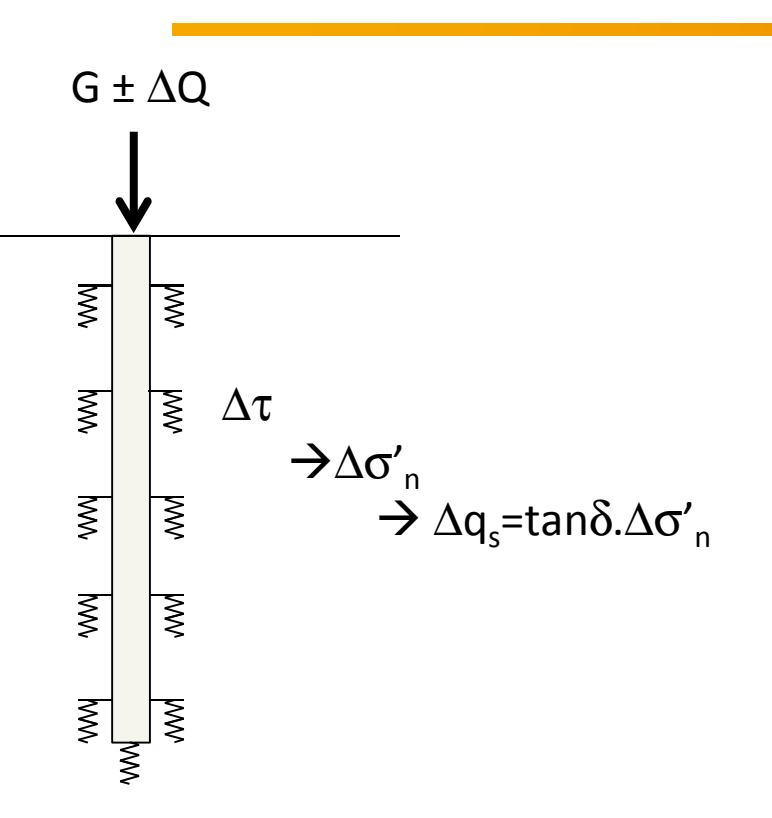


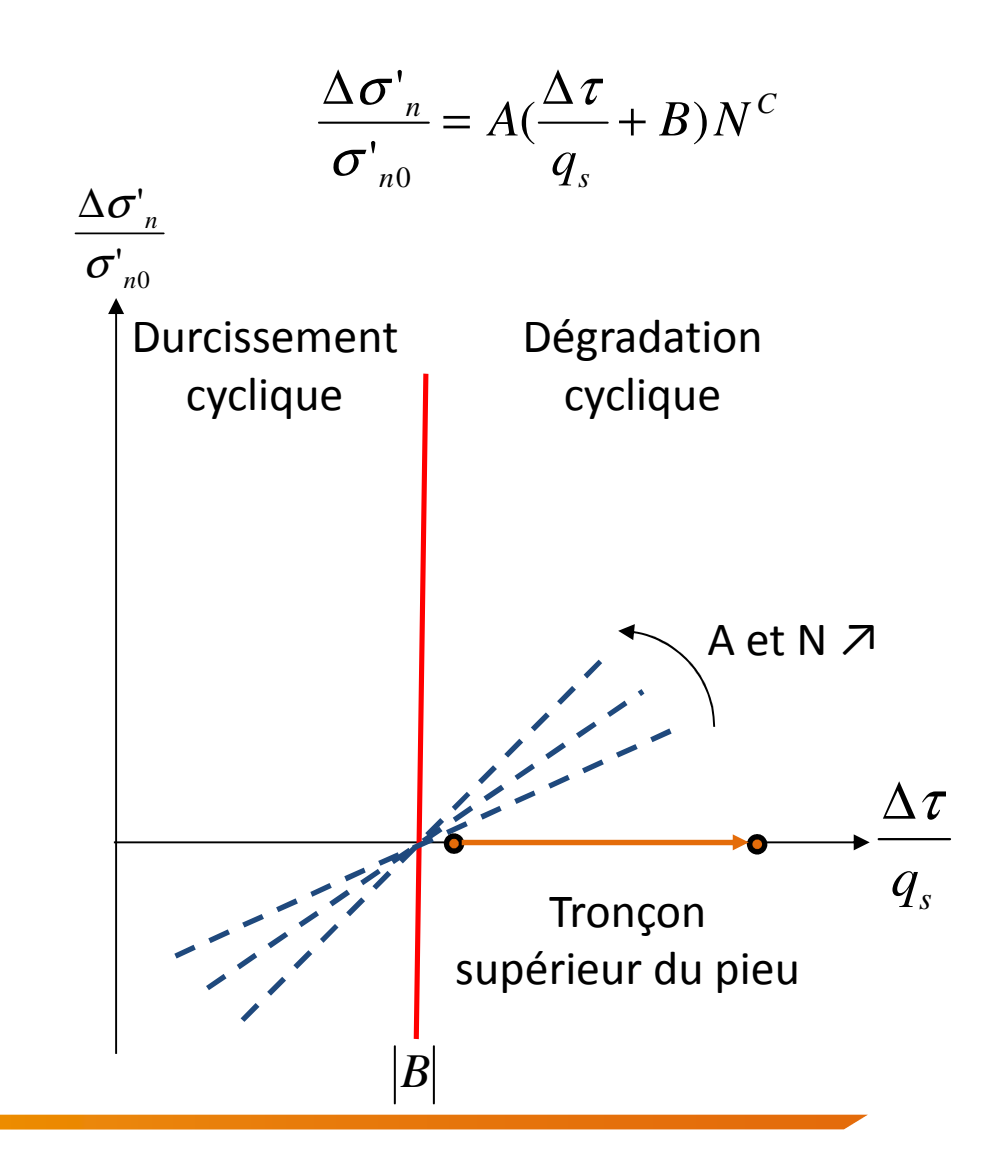






PROCÉDURE DE DÉGRADATION ABC







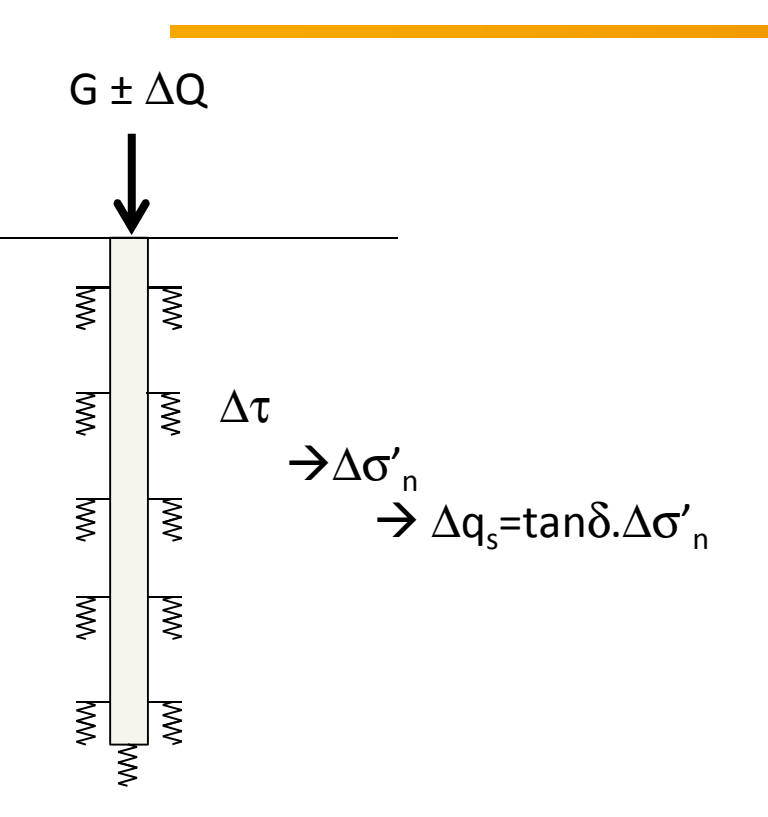


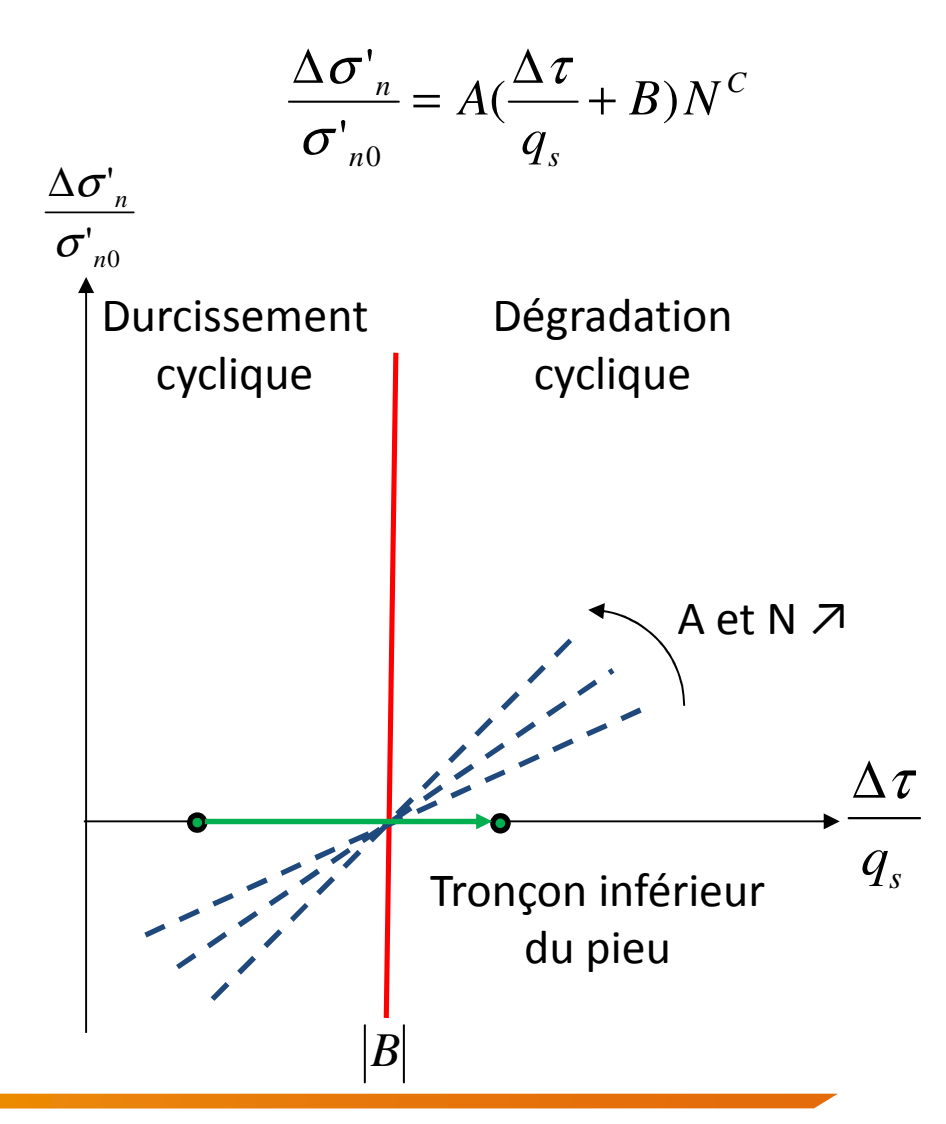






PROCÉDURE DE DÉGRADATION ABC









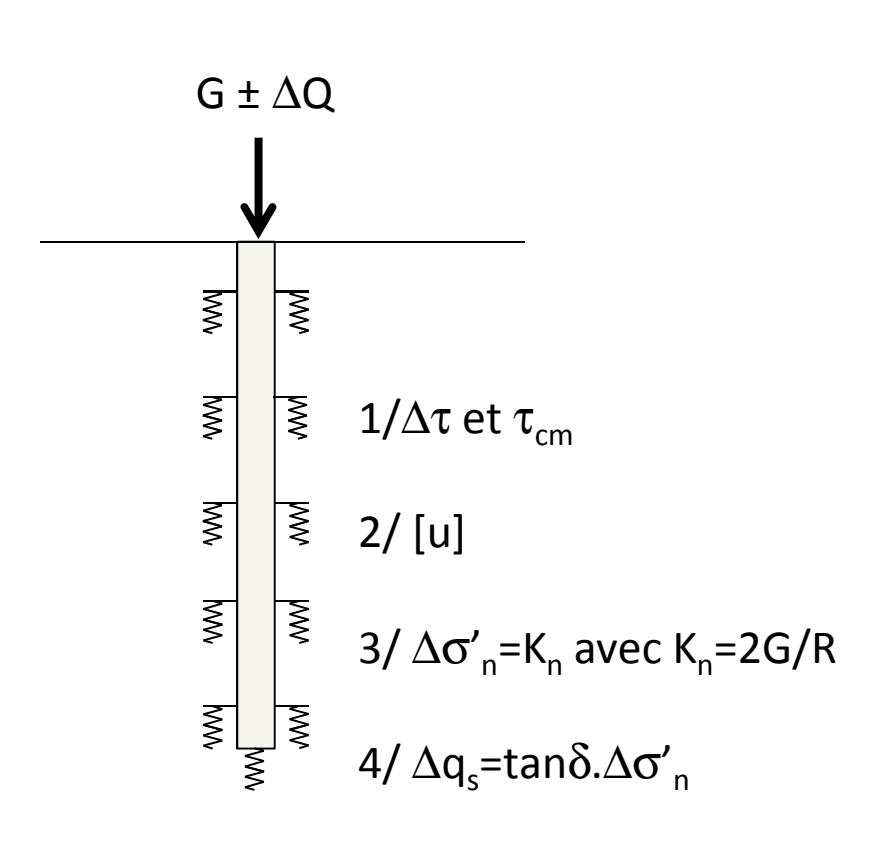


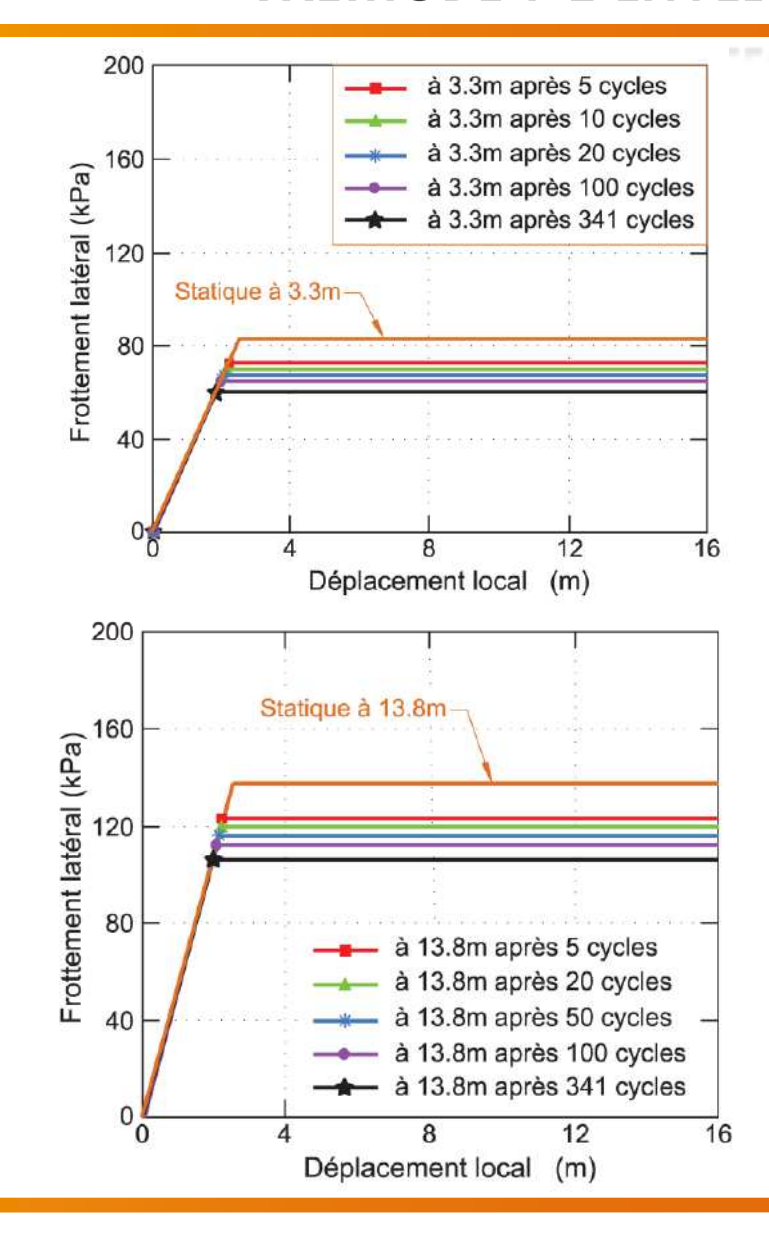






MÉTHODE T-Z ENVELOPPE

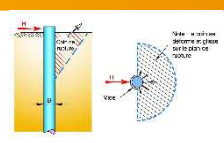






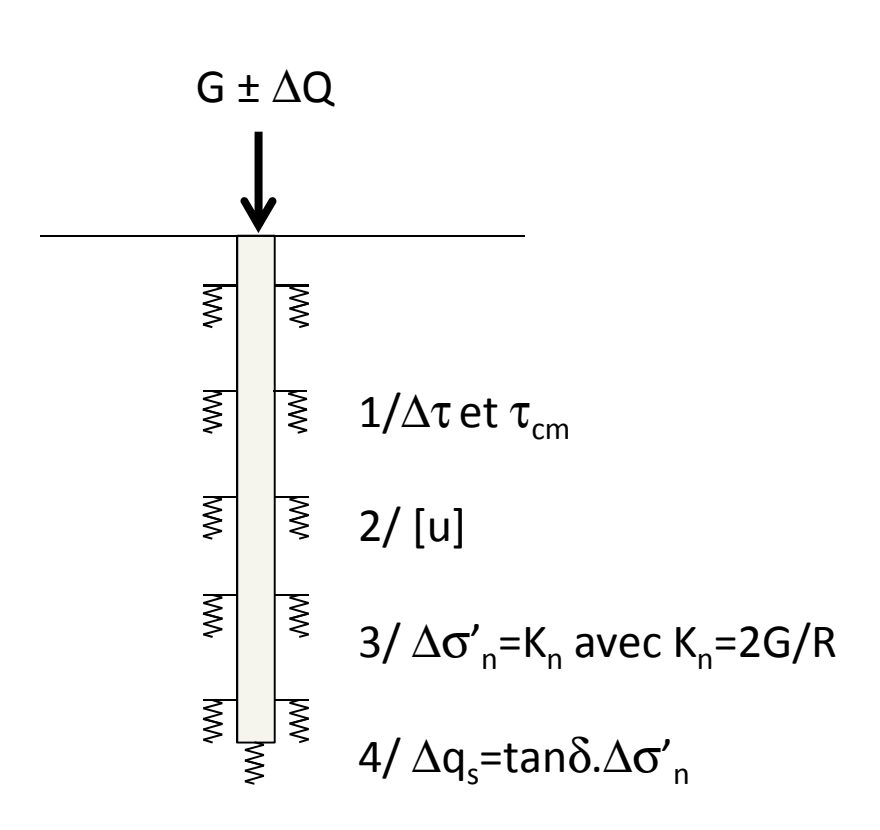


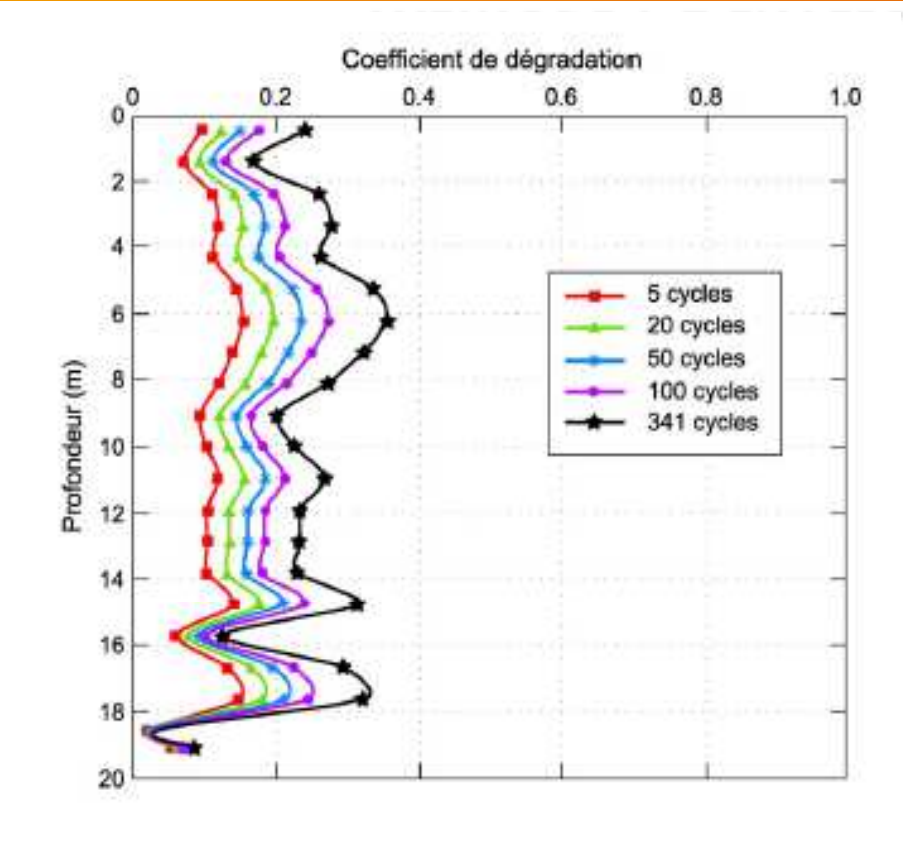










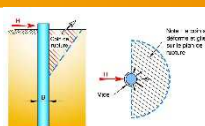


- → Evolution de la résistance cyclique (actualisation du processus de dégradation au cours des cycles)
- → Estimation du déplacement du pieu avec les cycles





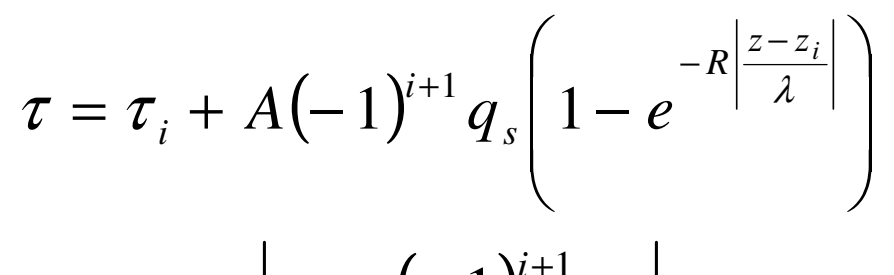






(Thèse Z.Abchir)

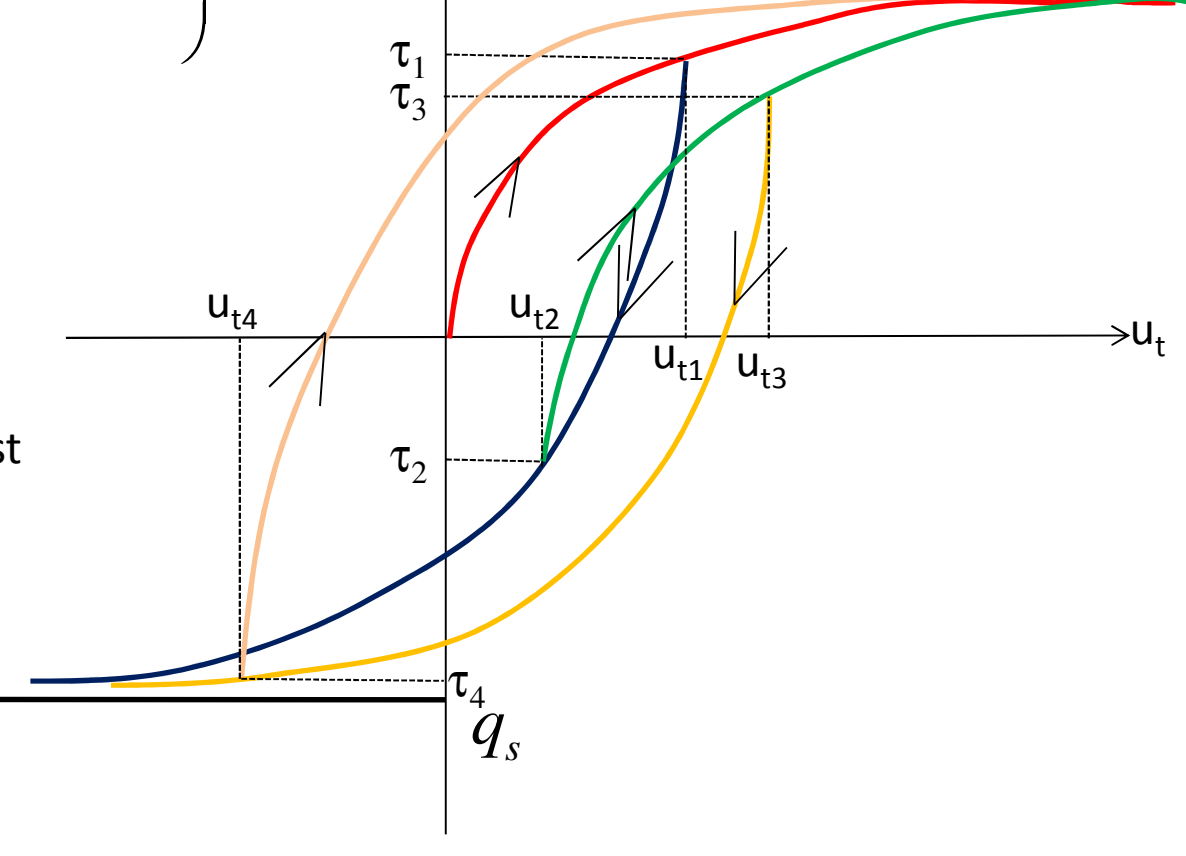




$$A = \left| \frac{\tau_i - (-1)^{i+1} q_s}{q_s} \right|$$

La raideur en décharge dépend de la contrainte atteinte, elle est multipliée par 1 à 2.

Elle peut évoluer au cours des cycles avec le paramètre R.

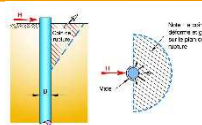


→ Commet varie le frottement axial au cours des cycles ?











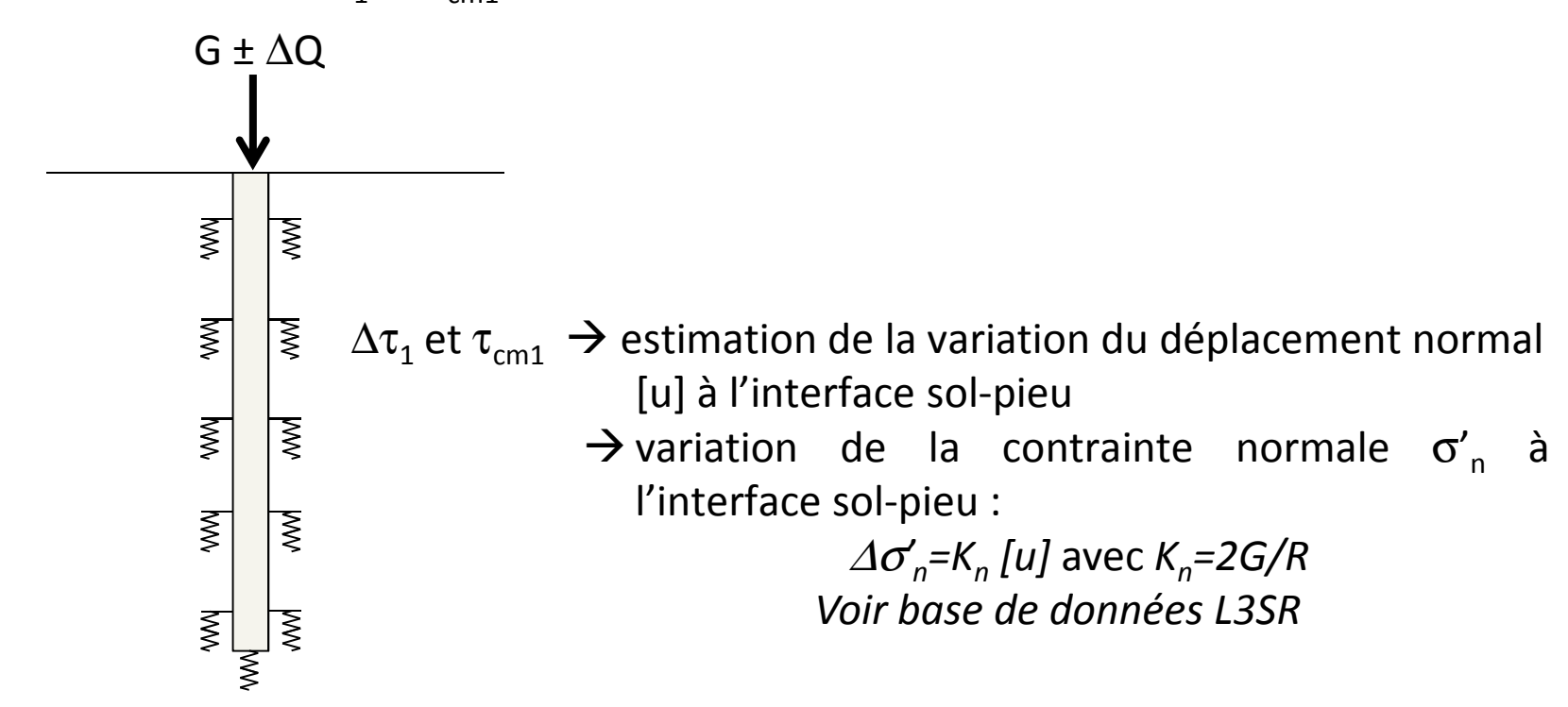
SOLCYP

MÉTHODE TZC-SOLCYP

La variation de frottement axial est associée à une variation de la contrainte normale :

$$\Delta q_s(i) = \tan(\delta) * \Delta \sigma'_n$$

Un premier cycle de chargement est appliqué pour déterminer à chaque profondeur les variations de contraintes: $\Delta \tau_1$ et τ_{cm1} .









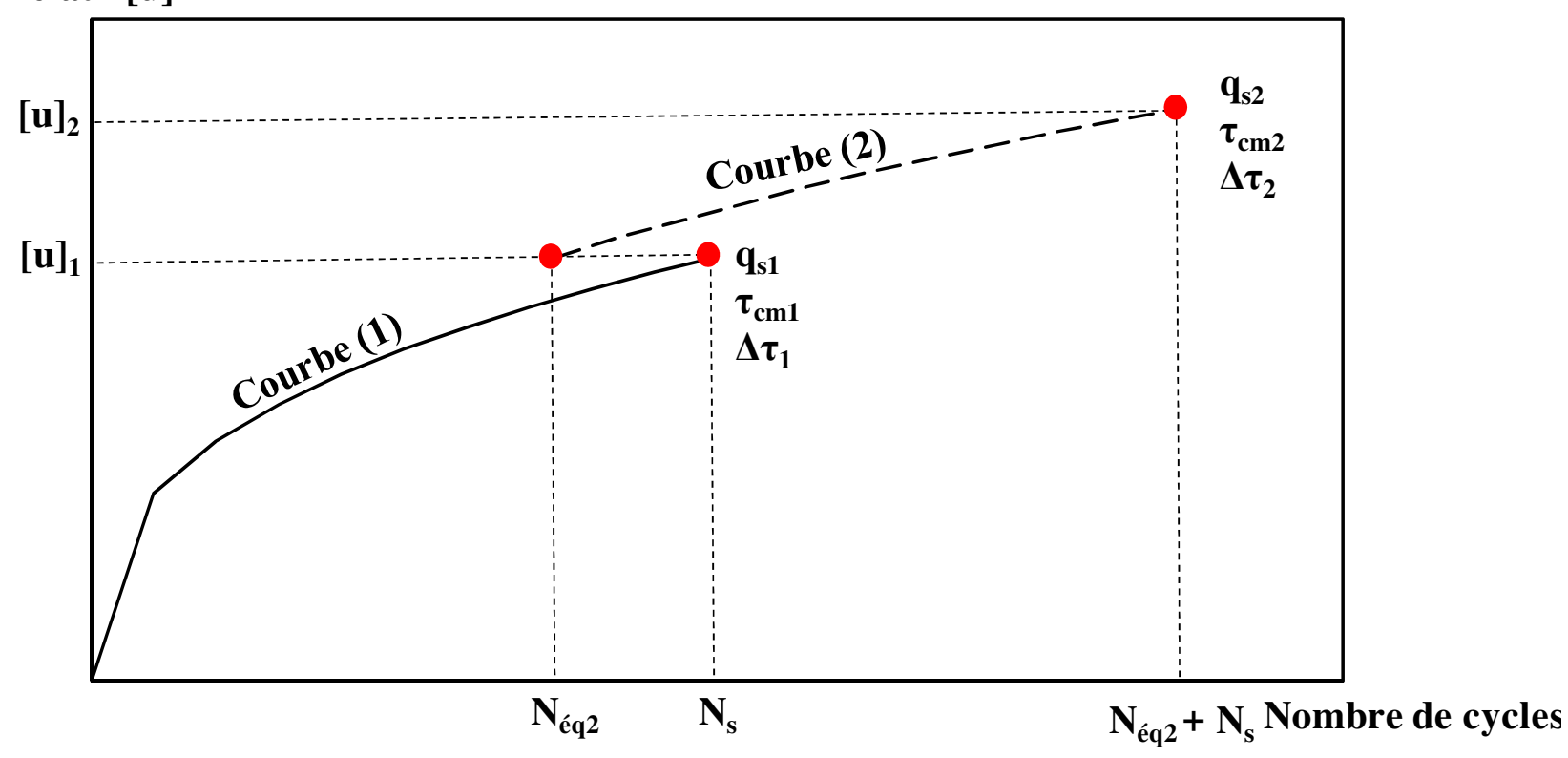








Déplacement normal relatif [u]



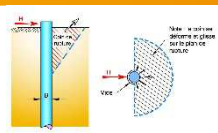
Actualisation des courbes de dégradation :

$$f_1(\tau_{cm1}, \Delta \tau_1, N_{\acute{e}q1} + N_s) = f_2(\tau_{cm2}, \Delta \tau_2, N_{\acute{e}q2})$$



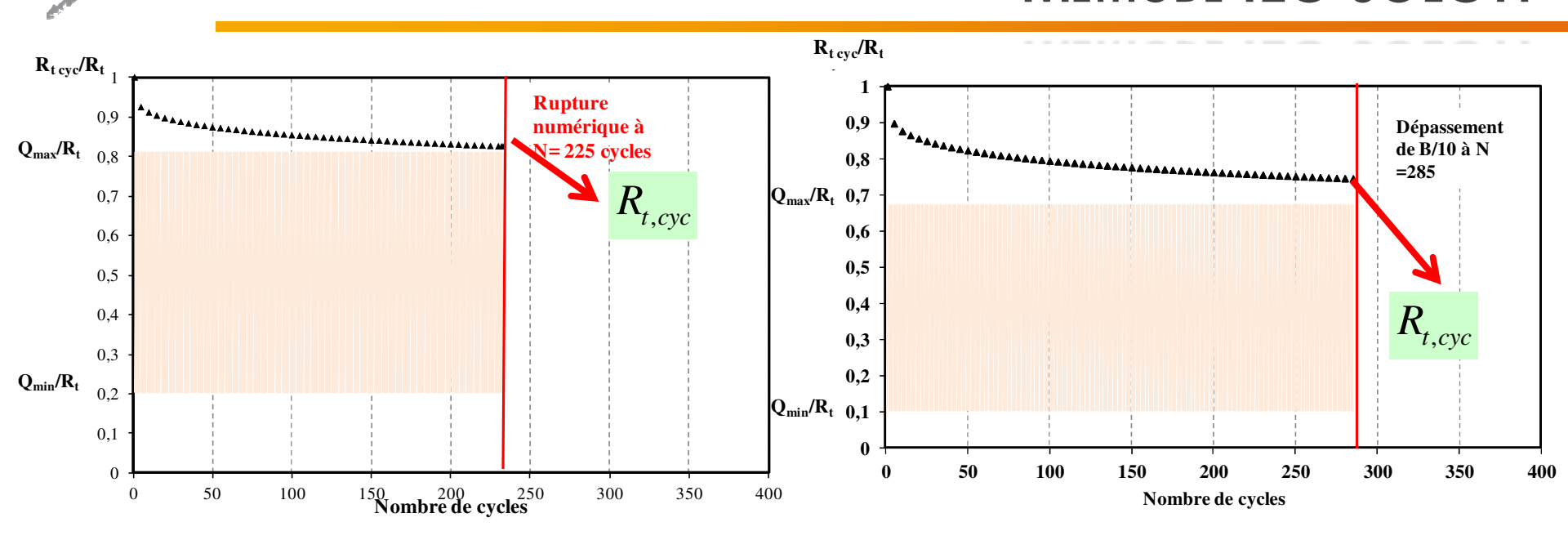








MÉTHODE TZC-SOLCYP



Mesure: 345 cycles

Mesure: 367 cycles

Justifications à réaliser sur un cas réel (dans un format LRFD) :

$$\gamma_G G_k + \gamma_Q Q_k < \frac{R_{t,cyc}}{\gamma_R}$$

En traction

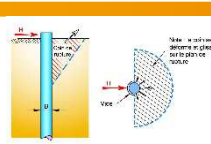
$$\gamma_G G_k + \gamma_Q Q_k < \frac{R_{c,cyc}}{\gamma_R}$$

En compression



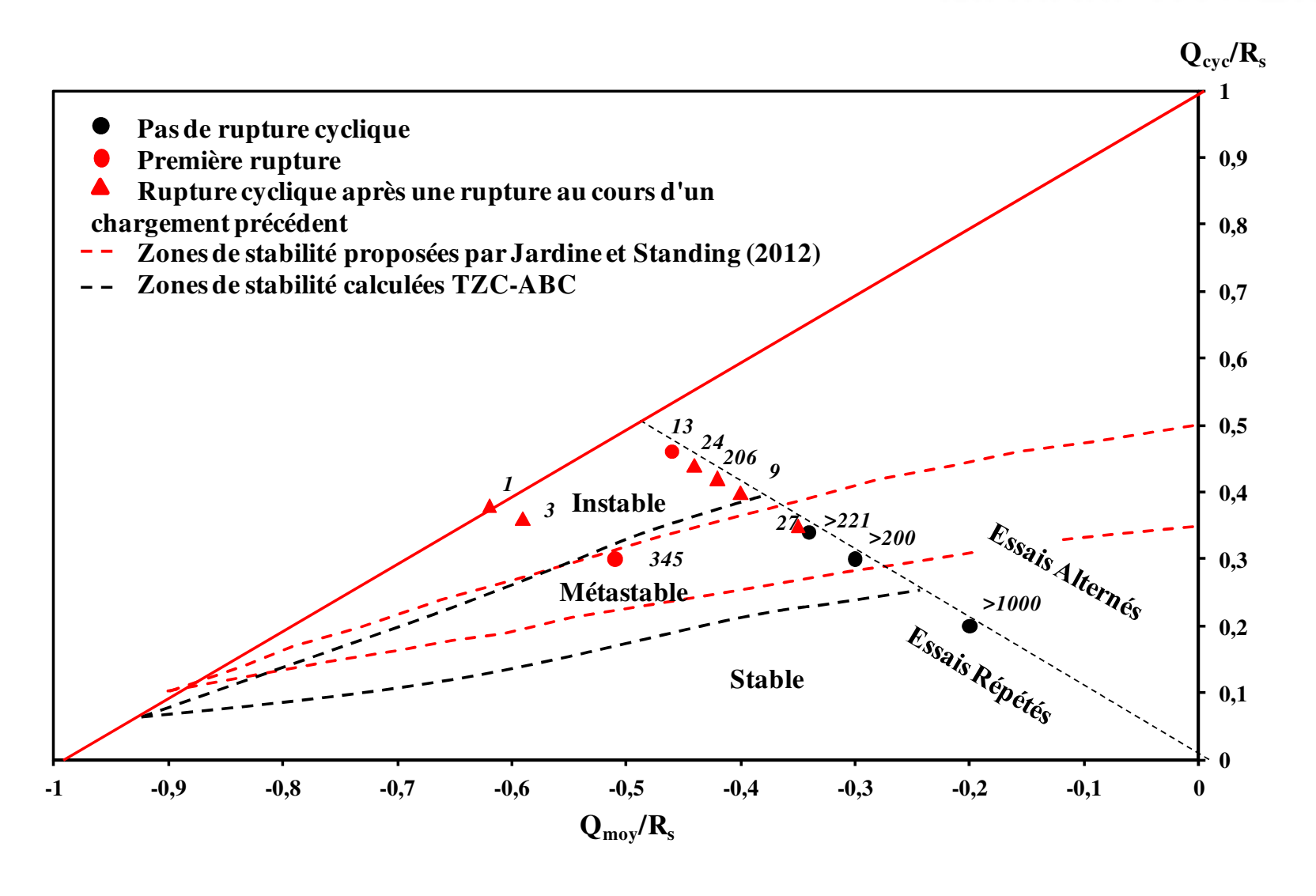








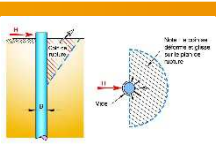






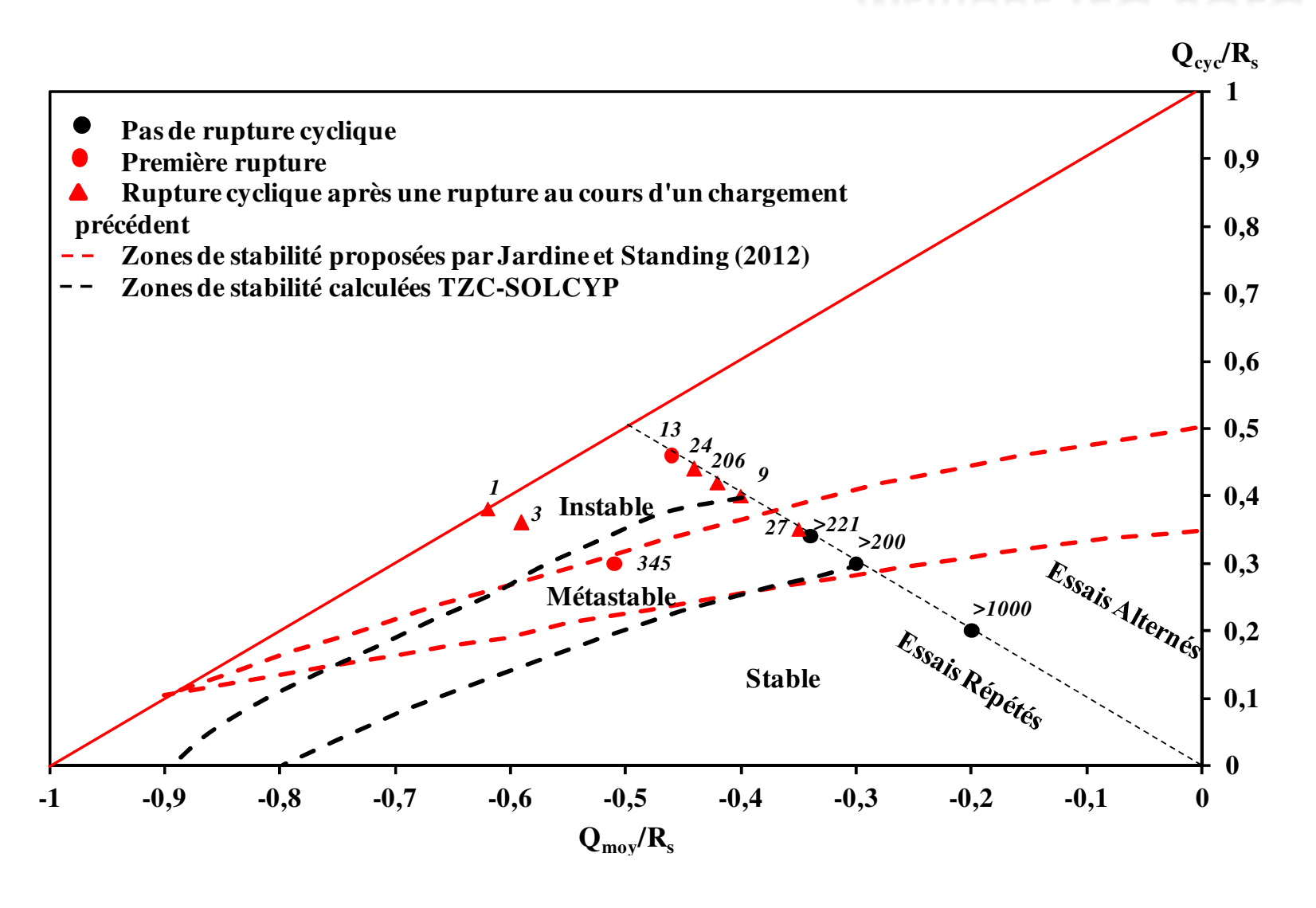








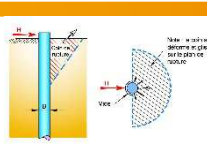








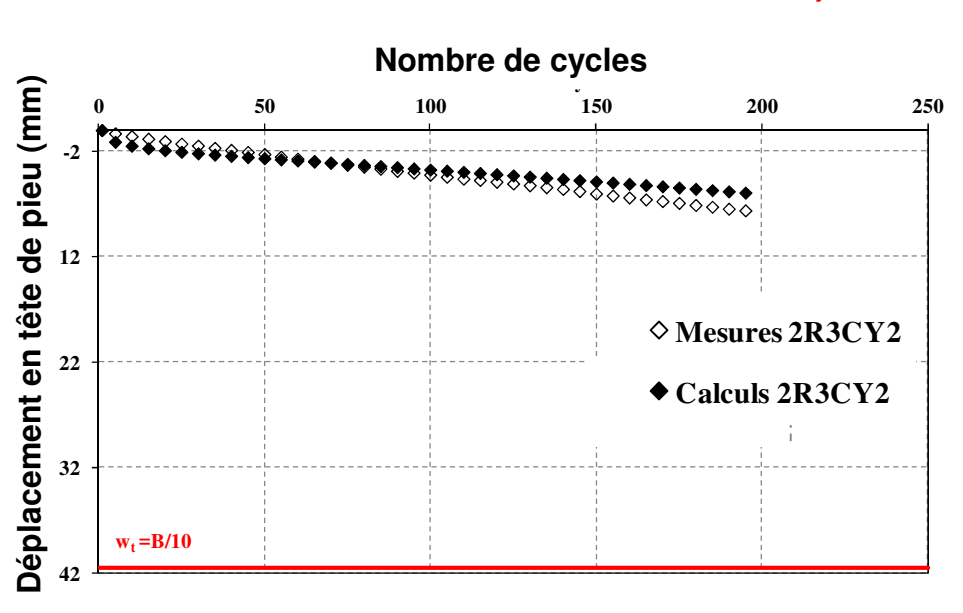


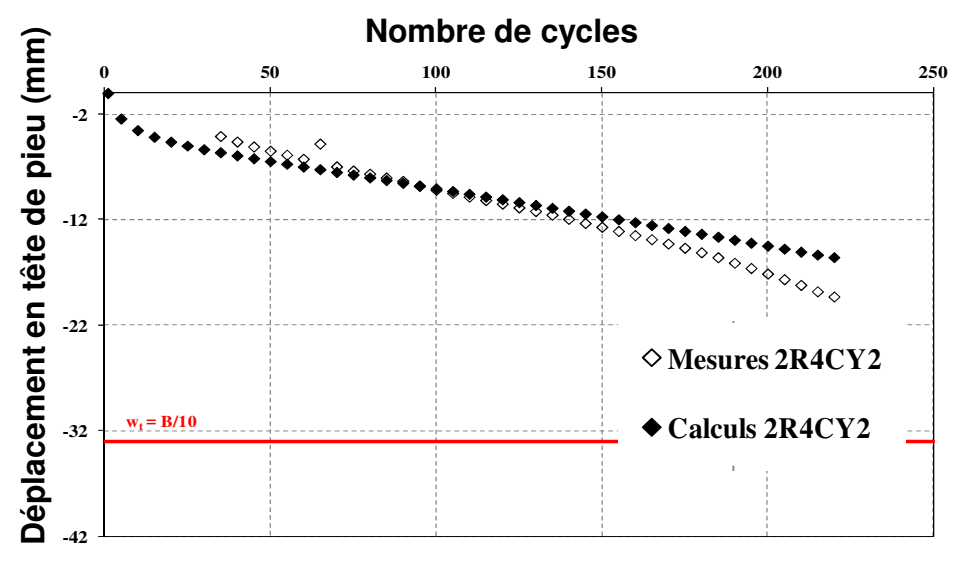






Sable, Dunkerque, GOPAL





La méthode développée fonctionne bien tant que le pieu ne présente pas un changement de comportement : d'une zone stable ou métastable vers une zone instable.



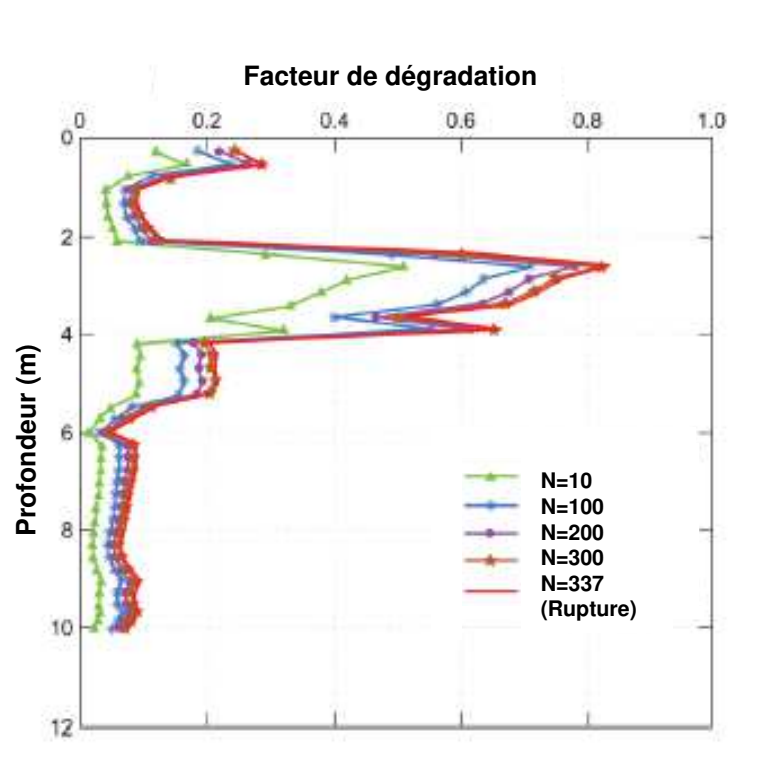


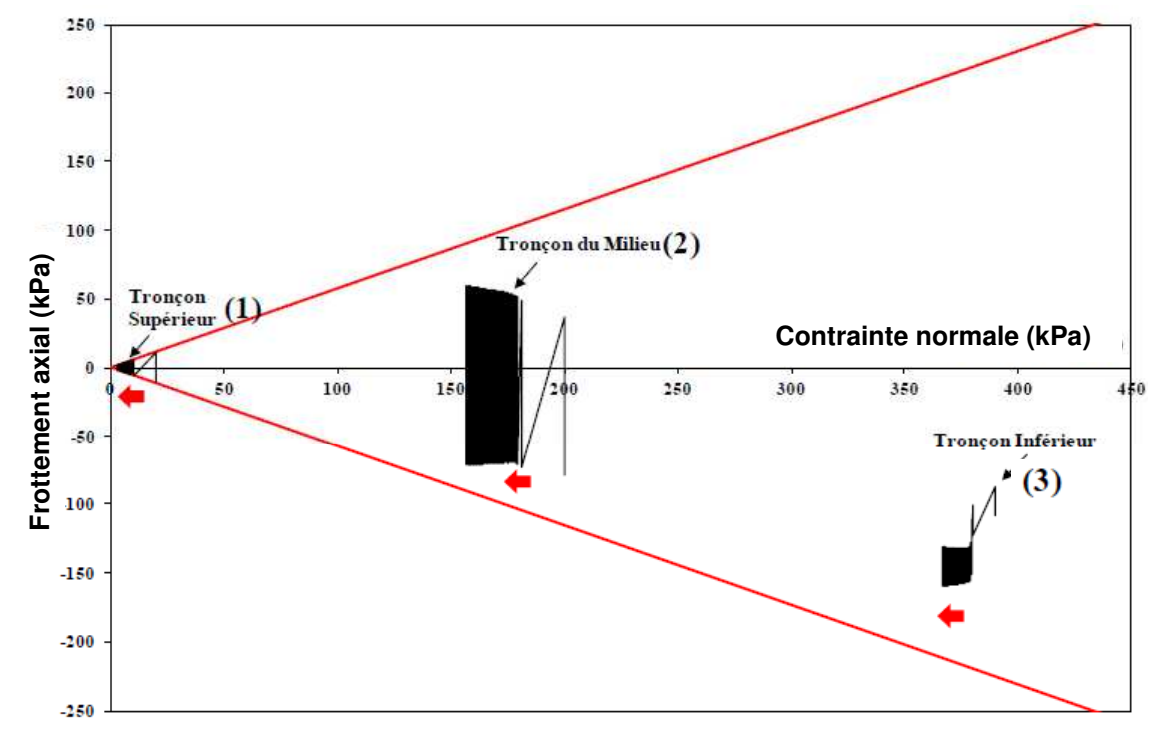






MÉTHODE TZC-SOLCYP

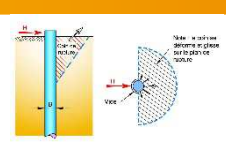




SOLCYP

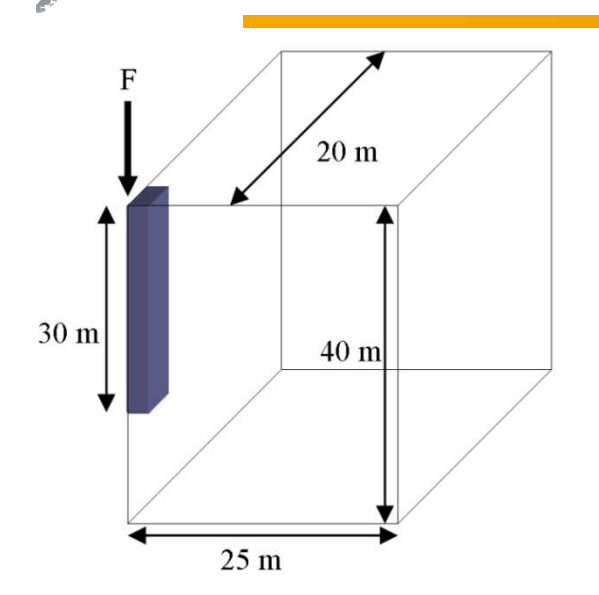


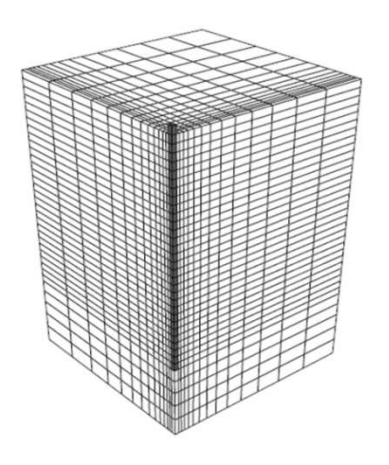


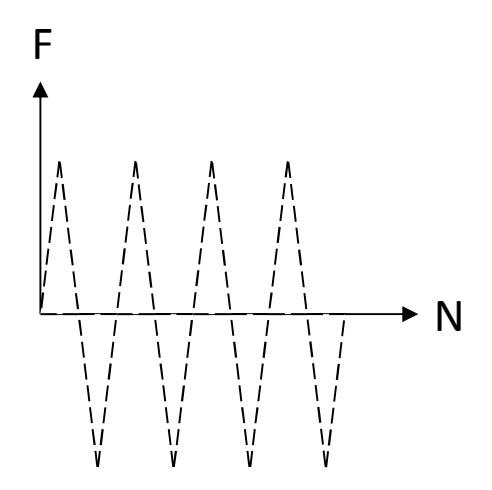




MÉTHODE DES ÉLÉMENTS FINIS







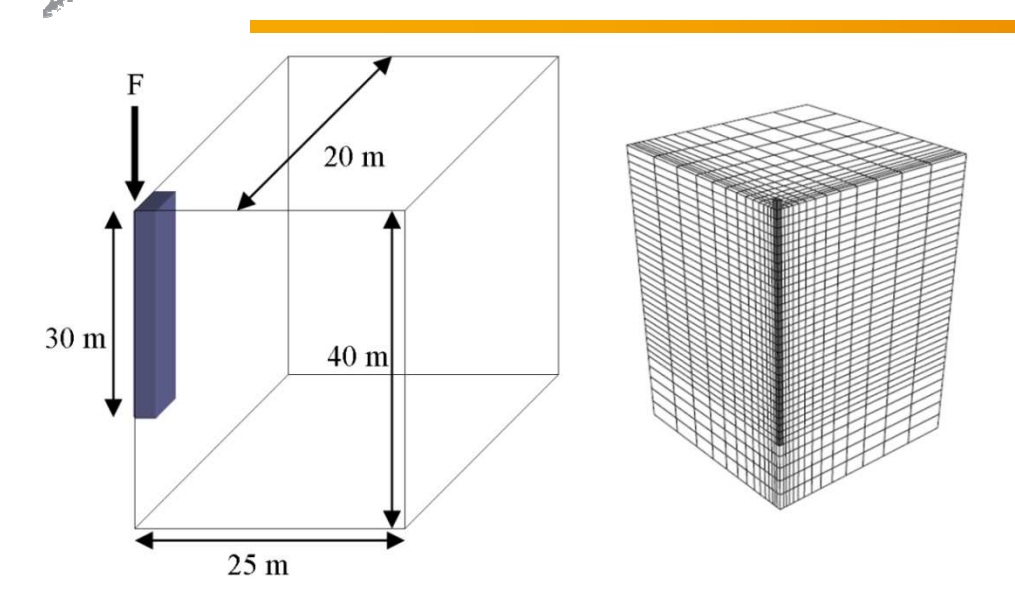


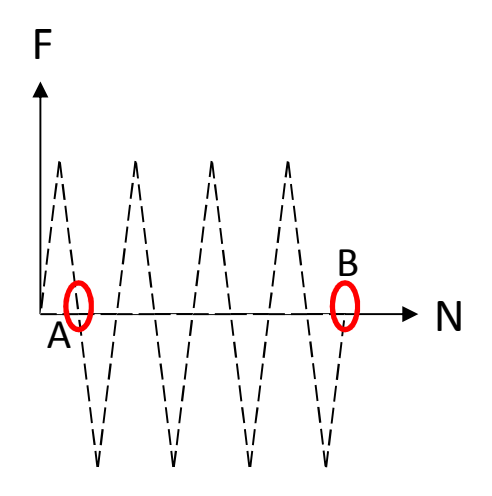




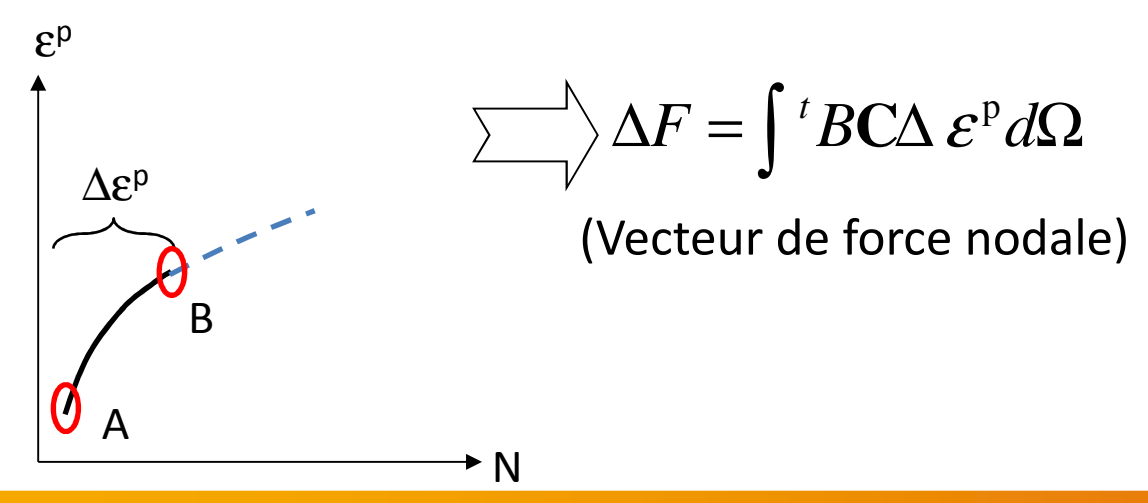








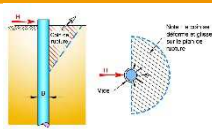
Approche numérique





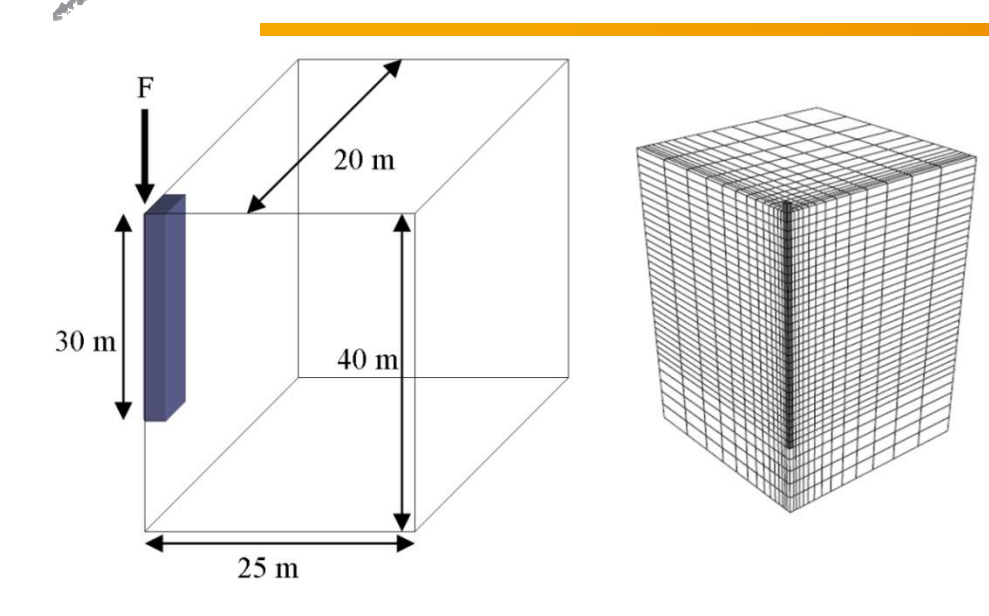


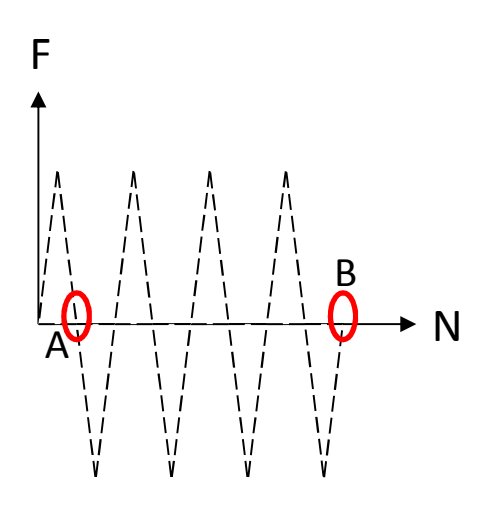






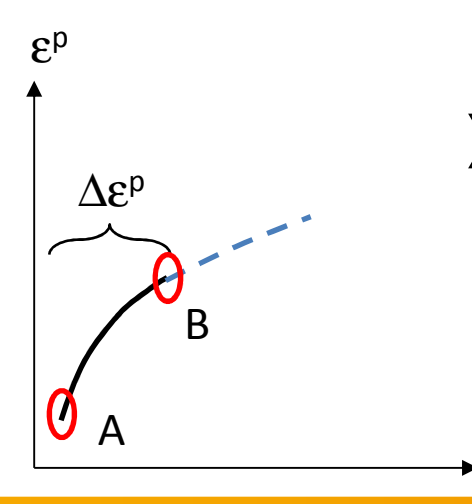
MÉTHODE DES ÉLÉMENTS FINIS



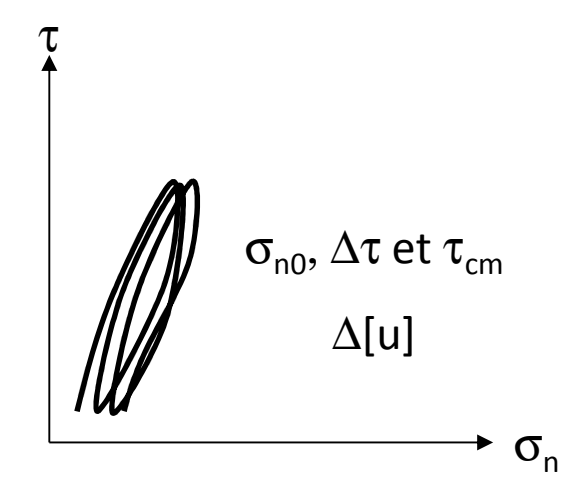


Approche numérique

Approche numérique et expérimentale



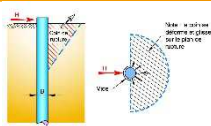
(Vecteur de force nodale)







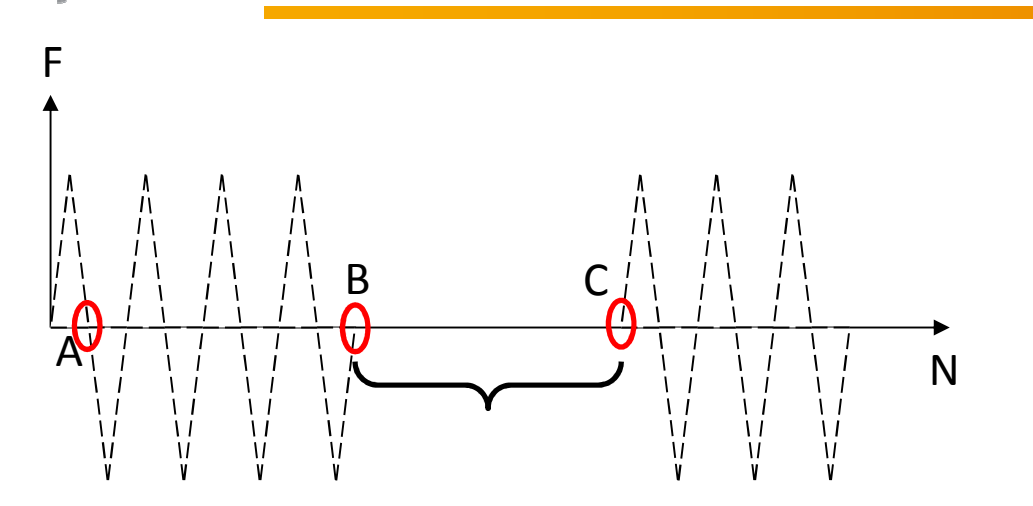




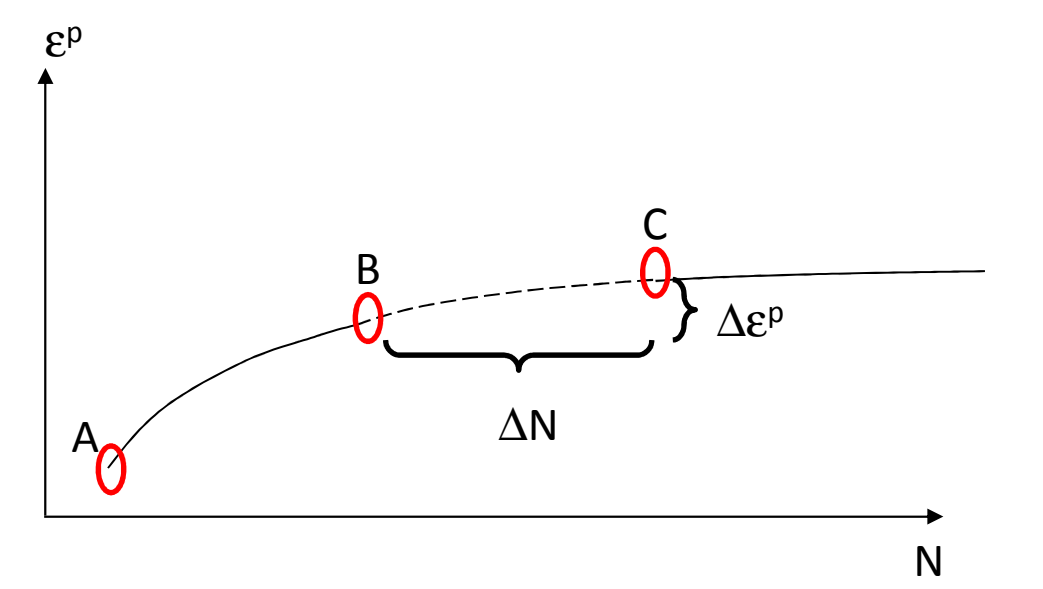




MÉTHODE DES ÉLÉMENTS FINIS



Le chargement global appliqué sur les cycles précédents est nul mais des formations plastiques apparaissent



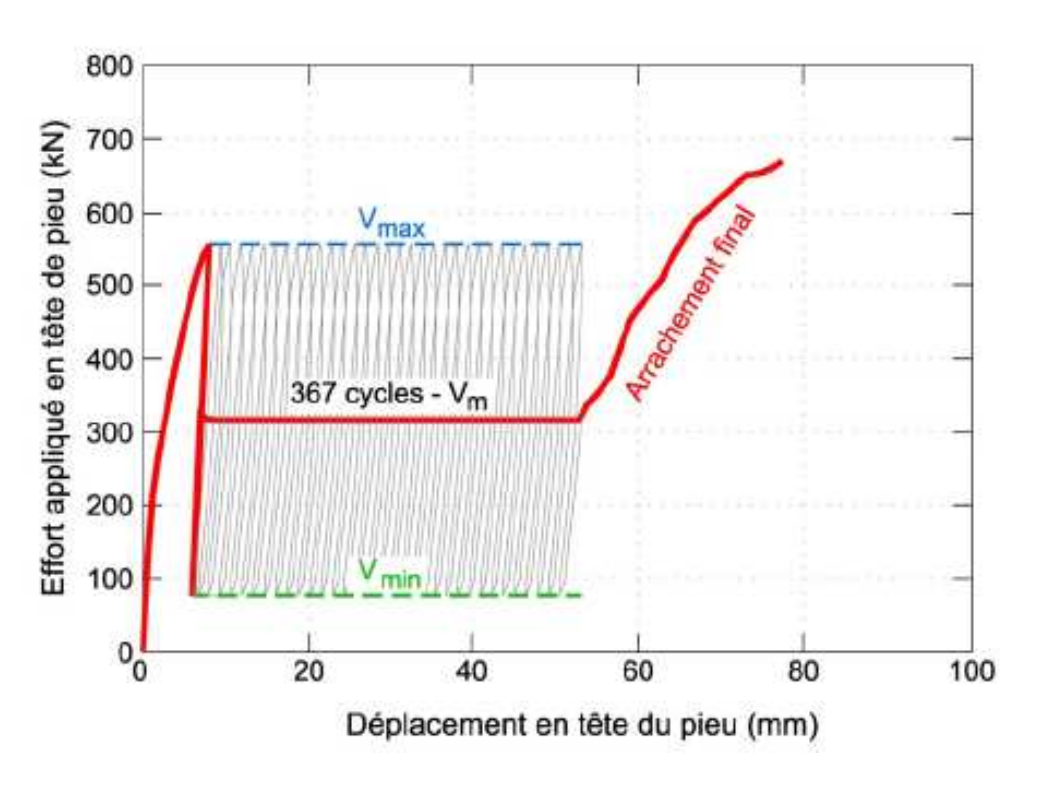


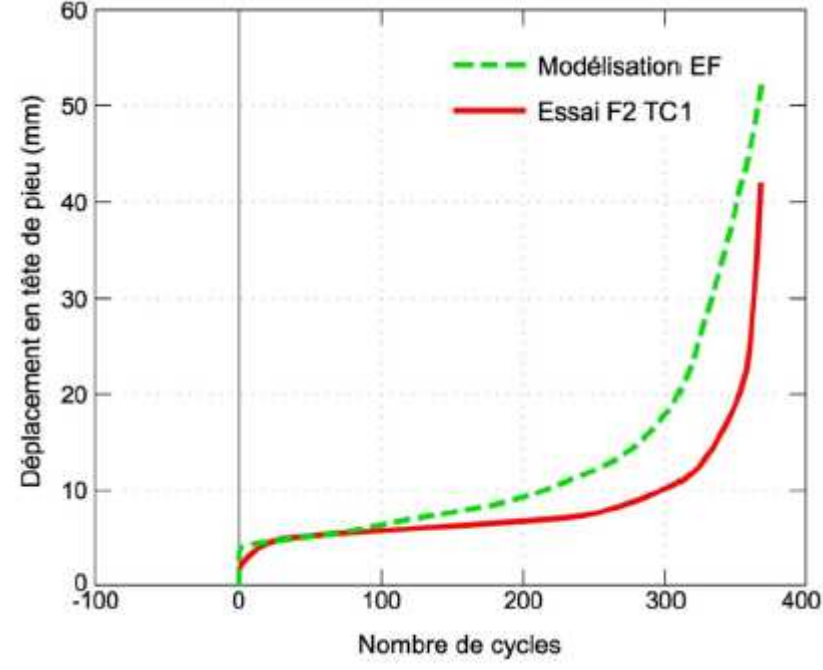






















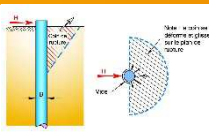
LES DIFFÉRENTES MÉTHODES DE CALCUL

Méthodes de calcul	Disponibilités des données	Robustesse du calcul	Fiabilité du calcul	Temps de calcul	Facilité d'utilisation
t-z enveloppe	++	++	-/+	+	+
t-z cycle à cycle	++	+	+	+	+
méthode des éléments finis ou des différences finies	-	-/+	-/+	-	-/+











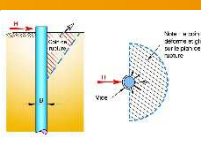


- L'estimation de la capacité portante cyclique reste une tâche complexe pour laquelle des solutions raisonnables existent avec divers degrés de difficultés.
- Le calcul des déplacements de pieux soumis à des charges cycliques reste malgré tout délicat. Divers points restent à examiner : l'état initial, le frottement axial limite qui dépend de la dilatance potentielle du sol, les effets du temps, etc.
- La construction de diagrammes de stabilité cyclique est un résultat prometteur pour la conception de pieux soumis à charges cycliques.













Aux différents étudiants, doctorants, post-doctorants etc.

Aux différents laboratoires impliqués dans le Projet ANR

Aux différents membres du groupe de rédaction











Merci de votre attention







